

# RELAZIONE DI SPETTROSCOPIA

## *Camera di Bragg*

FRANCESCO FORCHER

Università di Padova, Facoltà di Fisica  
francesco.forcher@studenti.unipd.it

Matricola: 1073458

ENRICO LUSIANI

Università di Padova, Facoltà di Fisica  
enrico.lusiani@studenti.unipd.it

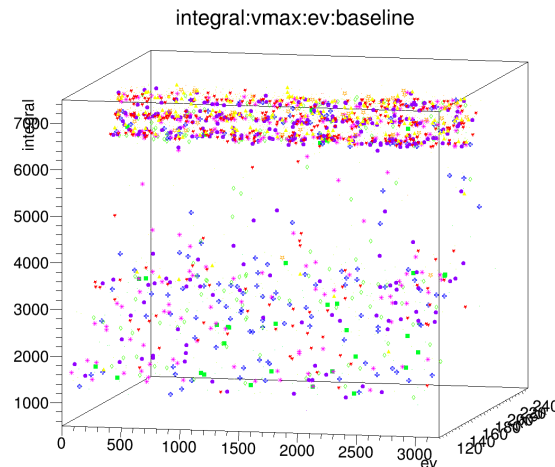
Matricola: 1073300

LAURA BUONINCONTRI

Università di Padova, Facoltà di Fisica  
laura.buonincontri@studenti.unipd.it

Matricola: 1073131

3 luglio 2016



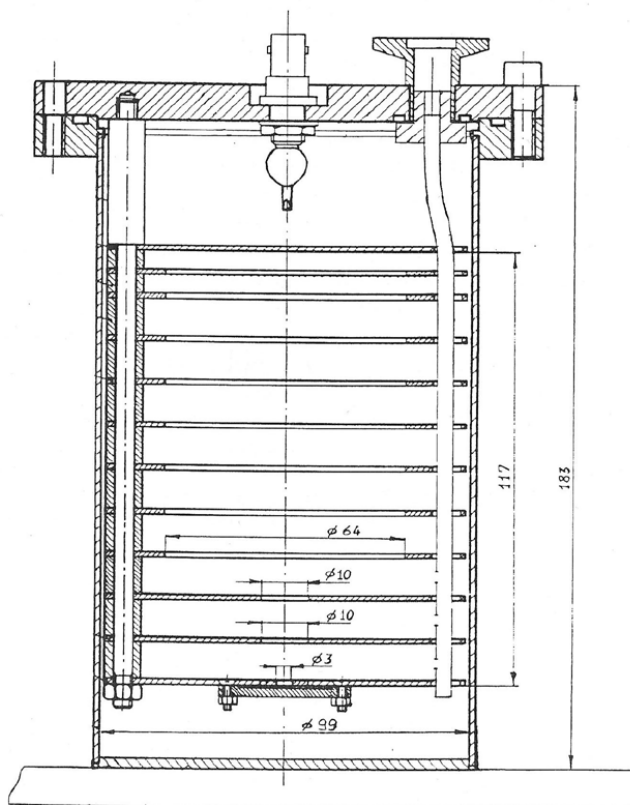
### Sommario

*Studio della camera di Bragg, in particolare risoluzione energetica, misura del background e funzione range:pressione*

**INDICE**

|   |           |
|---|-----------|
| <b>I Schema camera</b>                          | <b>3</b>  |
| <b>II Parte I</b>                               | <b>3</b>  |
| I Prima misura delle particelle alfa . . . . .  | 3         |
| II Risoluzione energetica . . . . .             | 9         |
| <b>III Parte II</b>                             | <b>11</b> |
| I Misure a pressione 650mb . . . . .            | 11        |
| II Misure a pressione 550mb . . . . .           | 15        |
| III Misure a pressione 500mb . . . . .          | 19        |
| IV Misure a pressione 450mb . . . . .           | 23        |
| V Misure a pressione 400mb . . . . .            | 27        |
| VI Misure a pressione 380mb . . . . .           | 31        |
| VII Curve in funzione della pressione . . . . . | 35        |
| <b>IV Tabelle</b>                               | <b>42</b> |
| <b>V Discussioni e conclusioni</b>              | <b>42</b> |
| <b>VI Codice</b>                                | <b>43</b> |

## I. SCHEMA CAMERA



## II. PARTE I

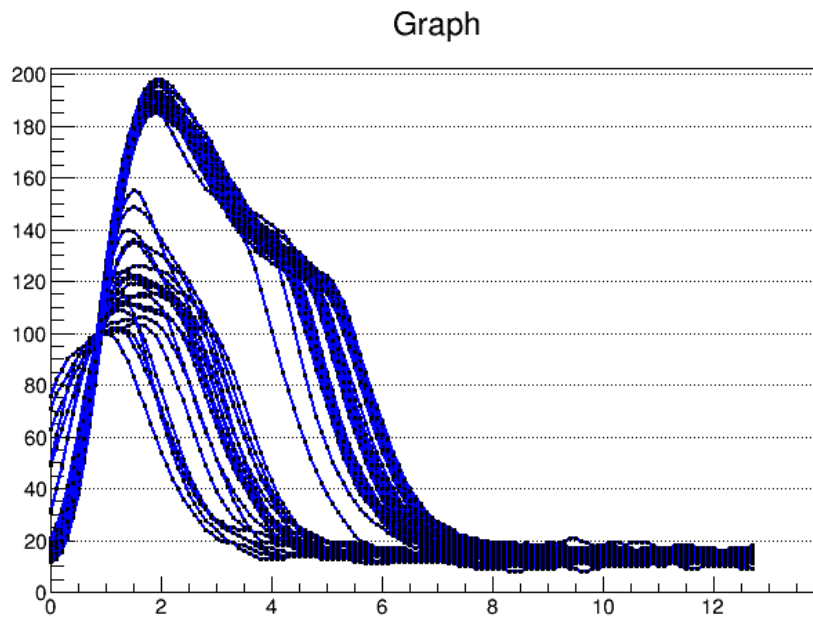
### II.1 Prima misura delle particelle alfa

Sono stati settati gli strumenti, a pressione 600 mb. Si è mantenuto lo Shaping Time a 0.25-0.5  $\mu$ s, dopo aver osservato il comportamento. E' stata regolata l'amplificazione in modo da mantenere il picco attorno ai 3V. E' stato impostato il trigger in modo tale che fosse circa a metà altezza del picco sull'oscilloscopio.

Si è verificato che il numero di segnali spuri fosse inferiore al 30% del totale, facendo il grafico dei picchi e calcolando l'integrale dei segnali a bassa energia.

E' stato quindi acquisito il primo set di dati (circa 3000 eventi)

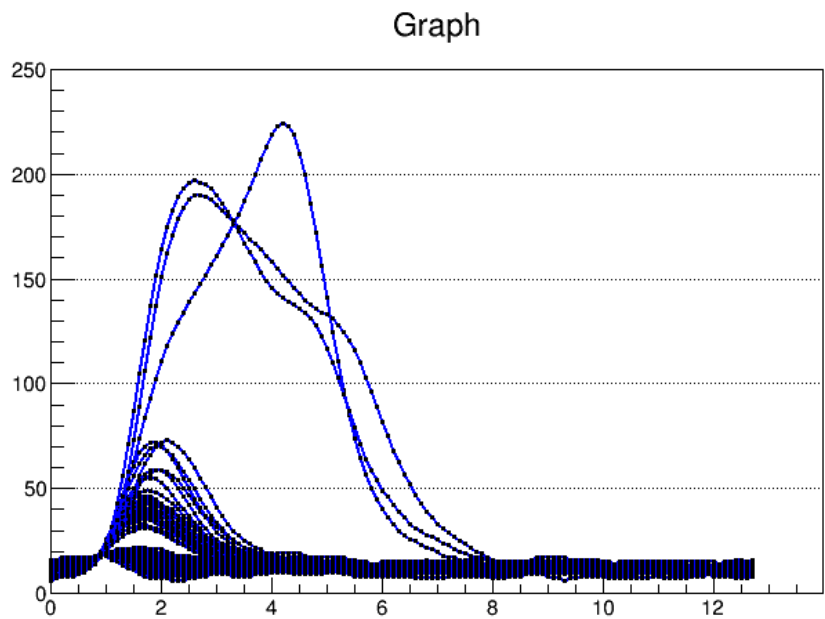
E' stato acquisito anche un set di dati con meno eventi per stimare la baseline. In particolare, è stato calcolato il centroide del picco della baseline, da inserire nella macro al posto del valore di default.

**Grafico 1** Grafico segnali a 600mb in funzione del tempo ( $\mu s$ )

E' stato fatto il grafico degli integrali ed è stato calcolato il centroide del picco della baseline, da inserire nella macro al posto del valore di default.

L'analisi dei dati che segue è stata effettuata utilizzando la macro fornita dal laboratorio, modificando il limite dei campioni da integrare e inserendo il valore della baseline appena stimato. Il limite dei campioni a 600 mb è stato posto uguale a 90.

**Grafico 2** Grafico segnali baseline in funzione del tempo ( $\mu s$ )



**Grafico 3** Picco della baseline

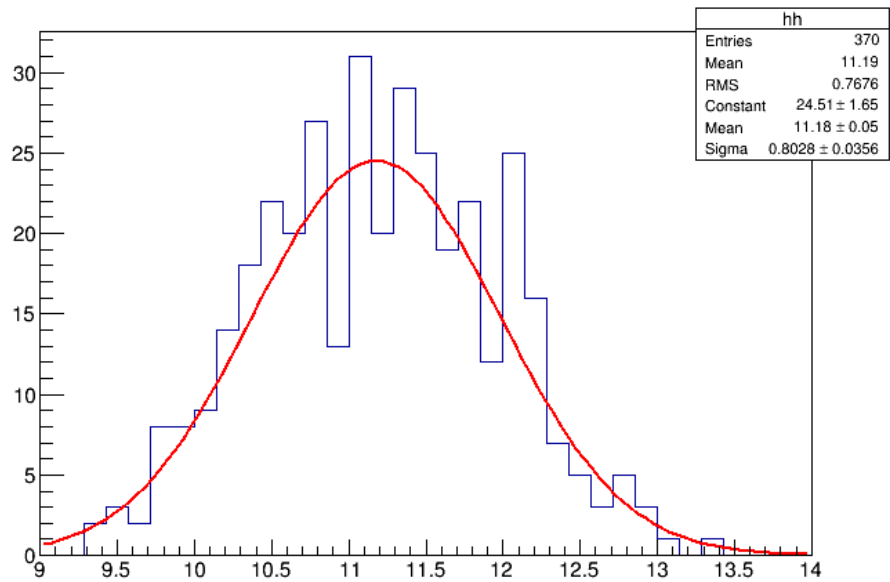


Grafico 4 Grafico integral

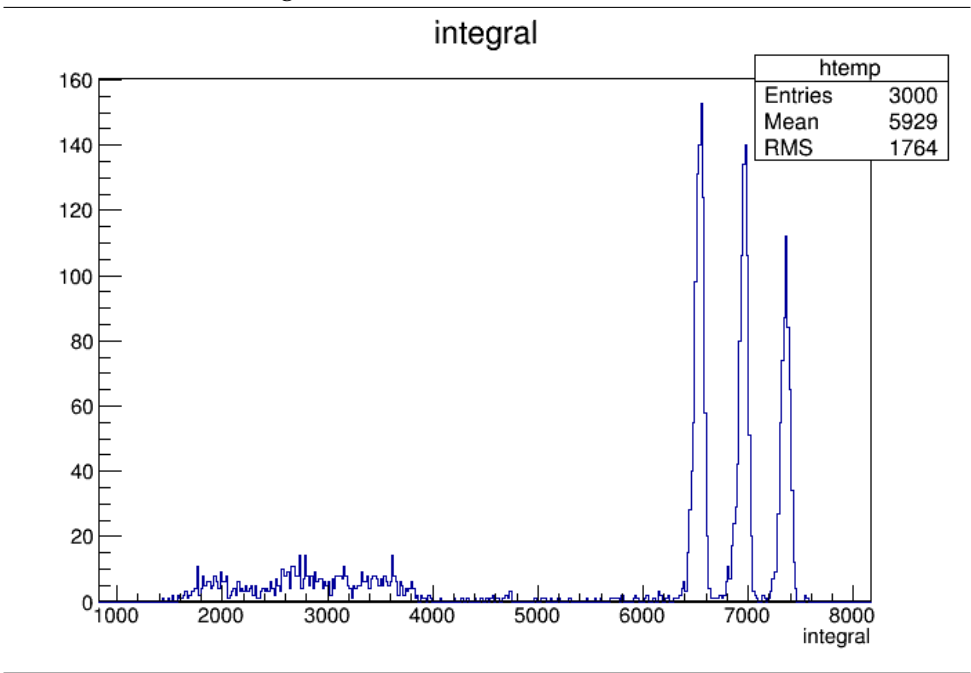


Grafico 5 Grafico integral:ev

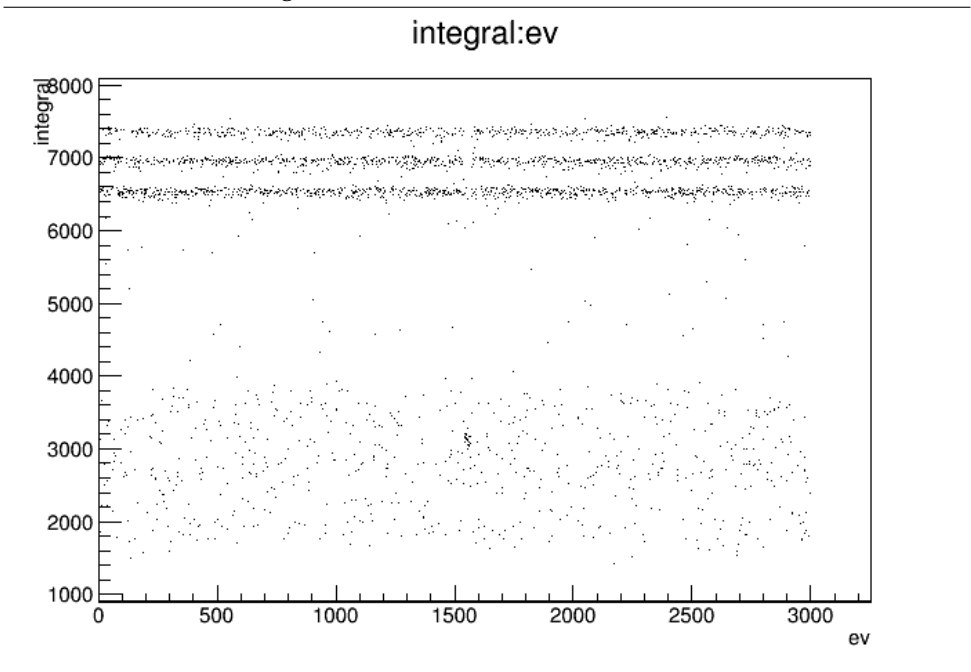


Grafico 6 Grafico integral:vmax

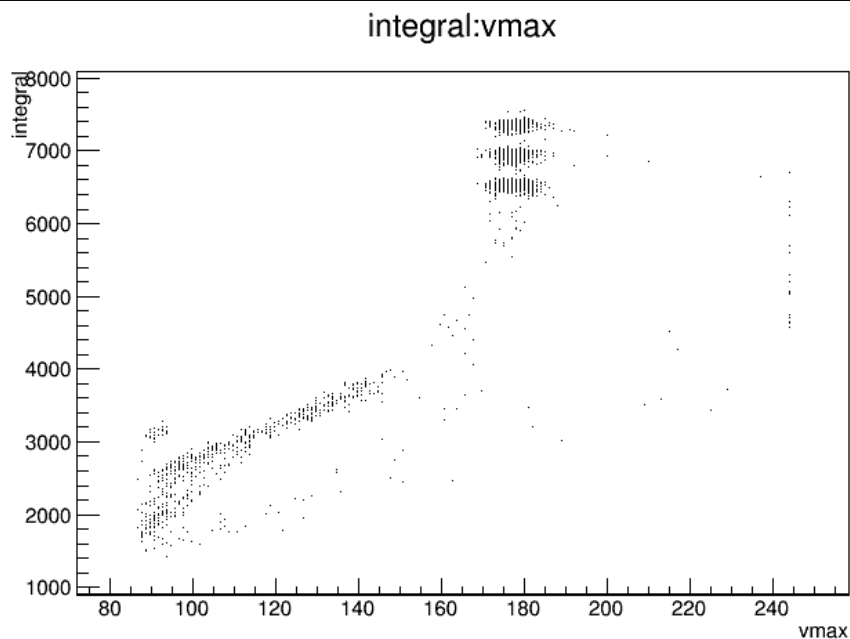
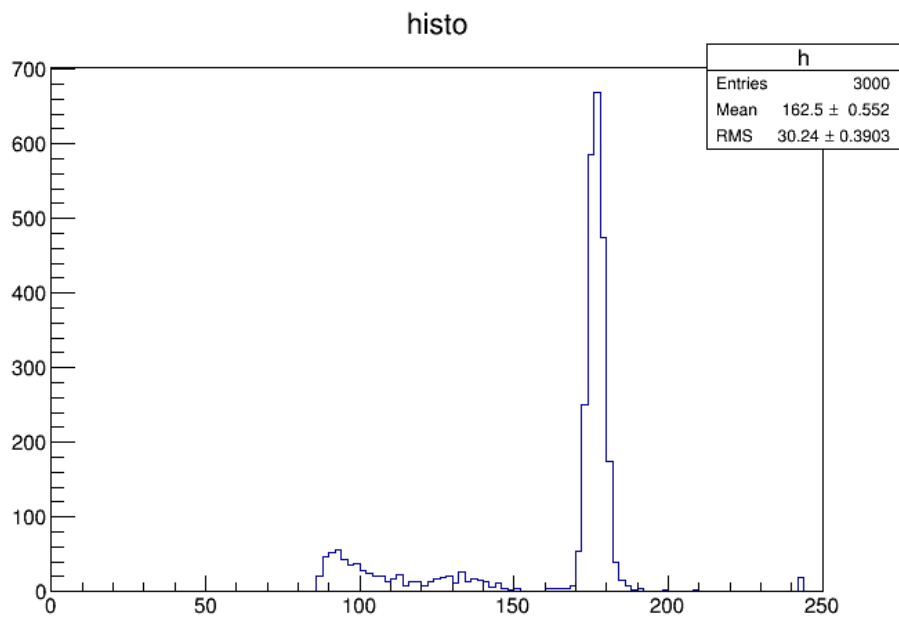
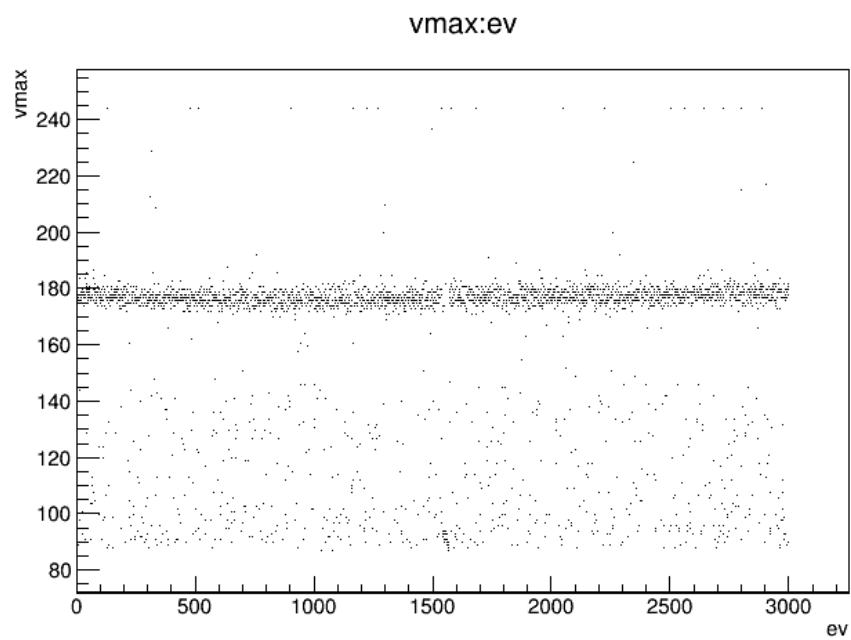


Grafico 7 Grafico vmax



**Grafico 8** Grafico vmax:ev



## II.II Risoluzione energetica

Per il calcolo della risoluzione energetica, abbiamo per prima cosa trovata la relazione tra integrale ed energia, ipotizzandola lineare. Per fare ciò abbiamo calcolato l'energia teorica di ciascun picco, facendo la media delle energie dei decadimenti alfa, pesate sulla loro probabilità. Poi abbiamo calcolato l'integrale relativo a ciascun picco, come centroide del picco nell'istogramma degli integrali, e il suo errore, l'RMS del picco. Da questi dati abbiamo proceduto ad un'interpolazione dell'integrale in funzione dell'energia, ricavando così la funzione energia:integrale. Usando la funzione, abbiamo riscritto l'asse delle ascisse nell'istogramma degli integrali, in modo che mostrasse l'energia. Da questo nuovo istogramma abbiamo ricavato la risoluzione energetica, misurando l'RMS dei picchi e usandola per la formula

TODO fatemela bene voi la formula qui, non so fare le equazioni

$$\text{risoluzione} = \frac{2.335 \cdot \sigma_E}{E}$$

TODO fate voi anche qui

$$q = 19.6792 \pm 19.5559$$

$$m = 1.2469 \pm 0.00354684$$

Grafico 9 Grafico Energia:Integrale

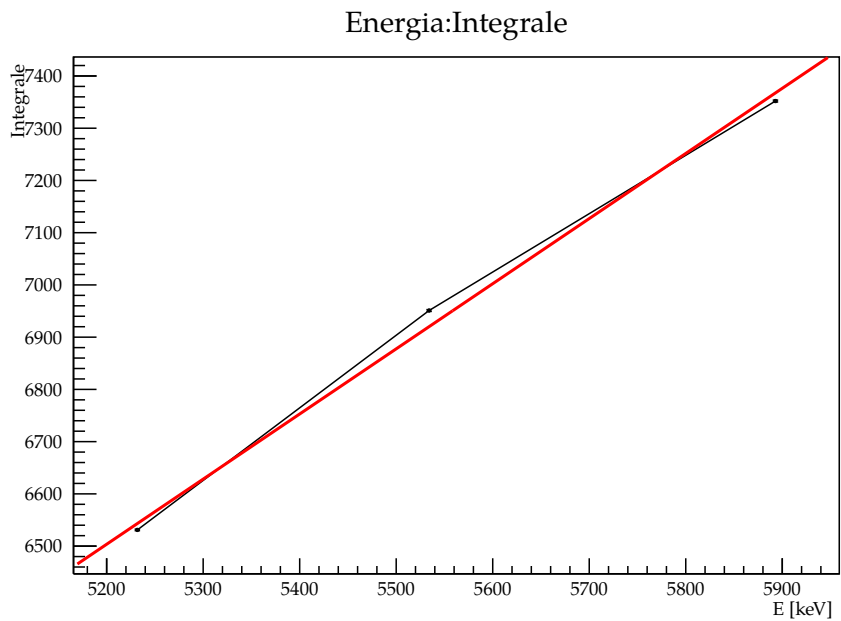
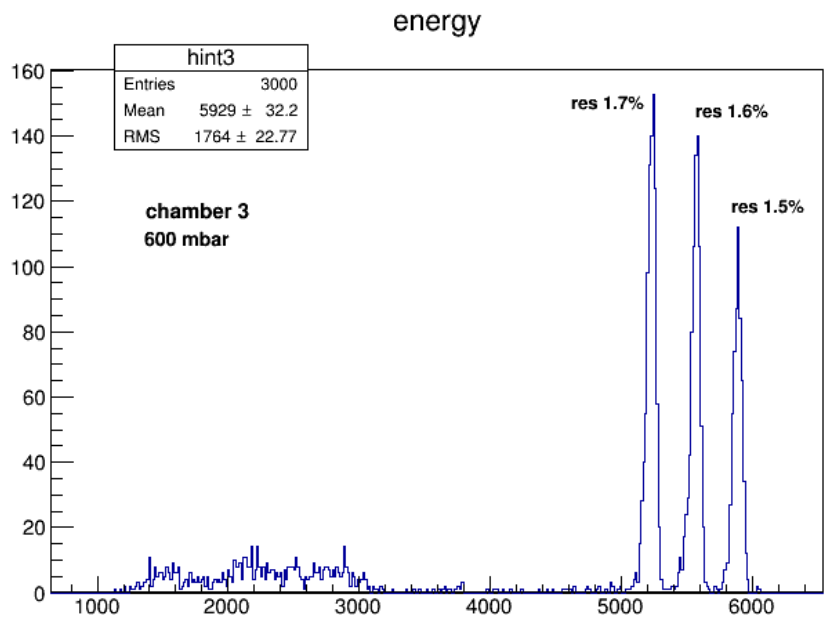


Grafico 10 Risoluzioni energetiche, grafico Energia(keV):conteggio



### **III. PARTE II**

L'analisi dei dati che segue è stata effettuata utilizzando la macro fornita dal laboratorio, modificando il limite dei campioni e inserendo il valore della baseline stimato in precedenza.

#### **III.I Misure a pressione 650mb**

Grafico 11 Grafico segnali a 650mb

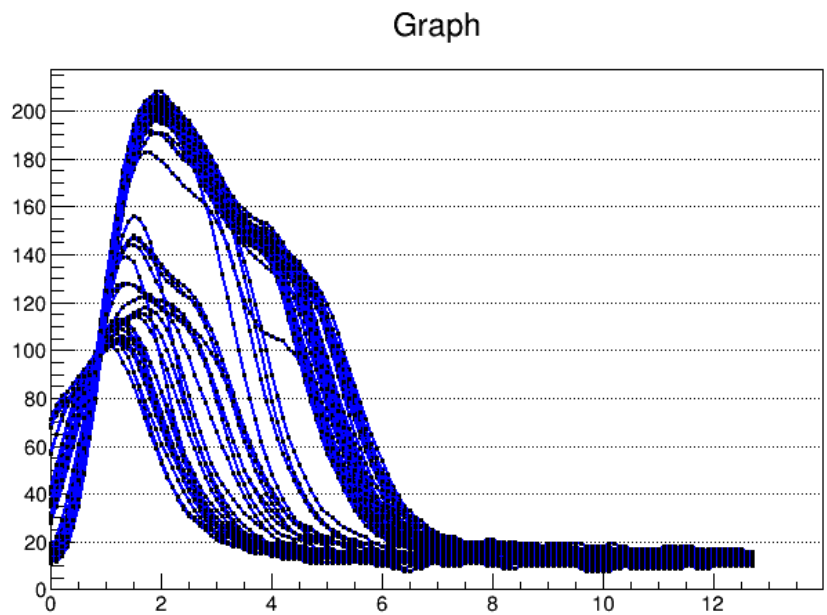
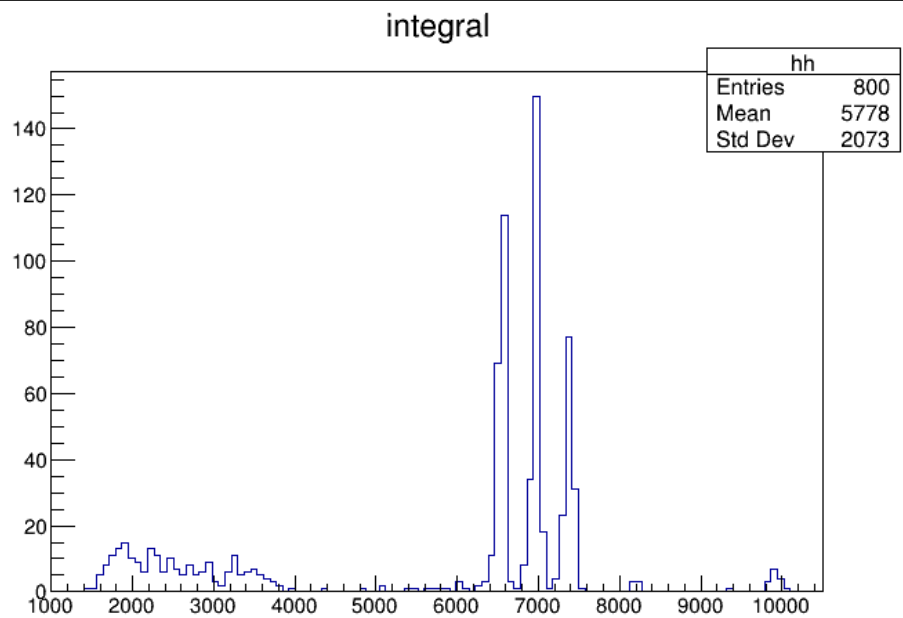


Grafico 12 Grafico integrale



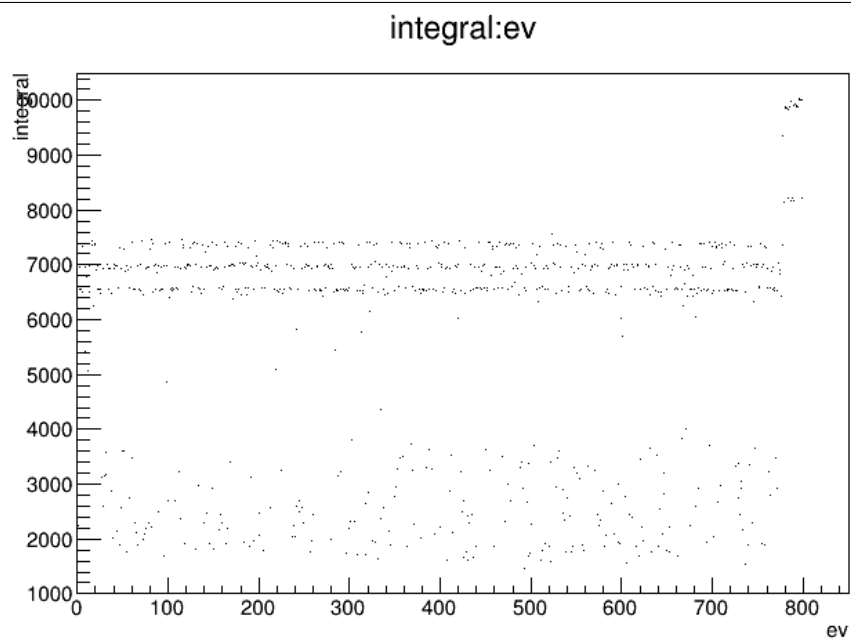
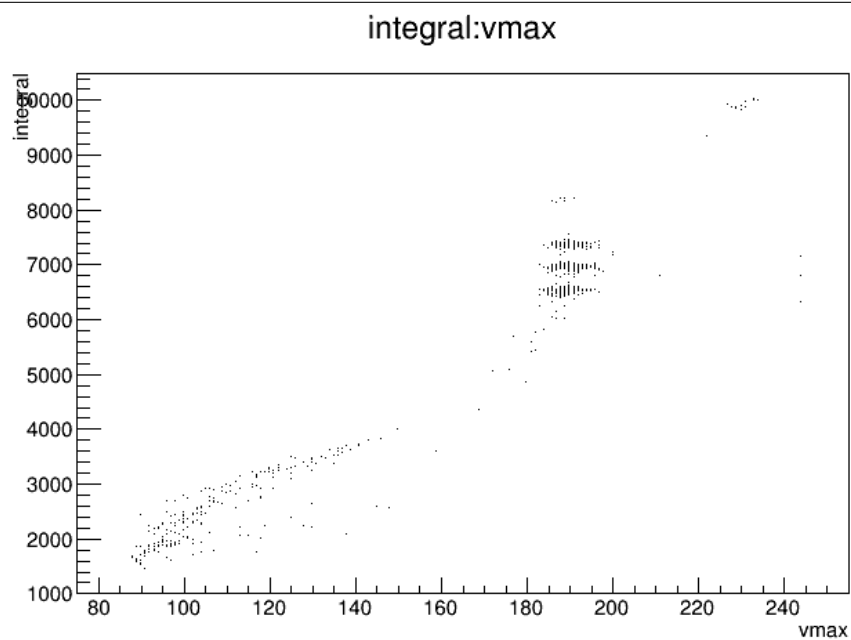
**Grafico 13** Grafico integral:ev**Grafico 14** Grafico integral:vmax

Grafico 15 Grafico vmax

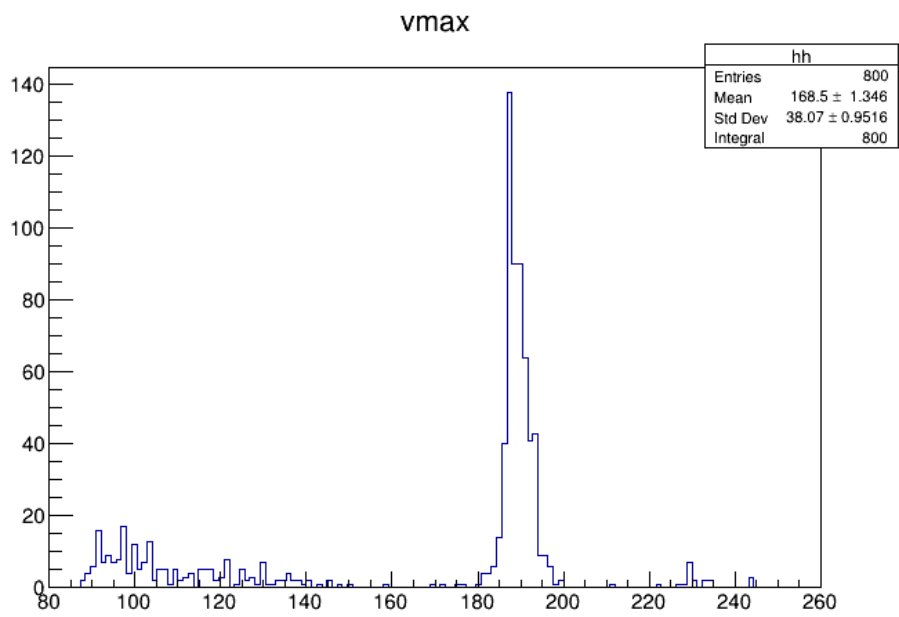
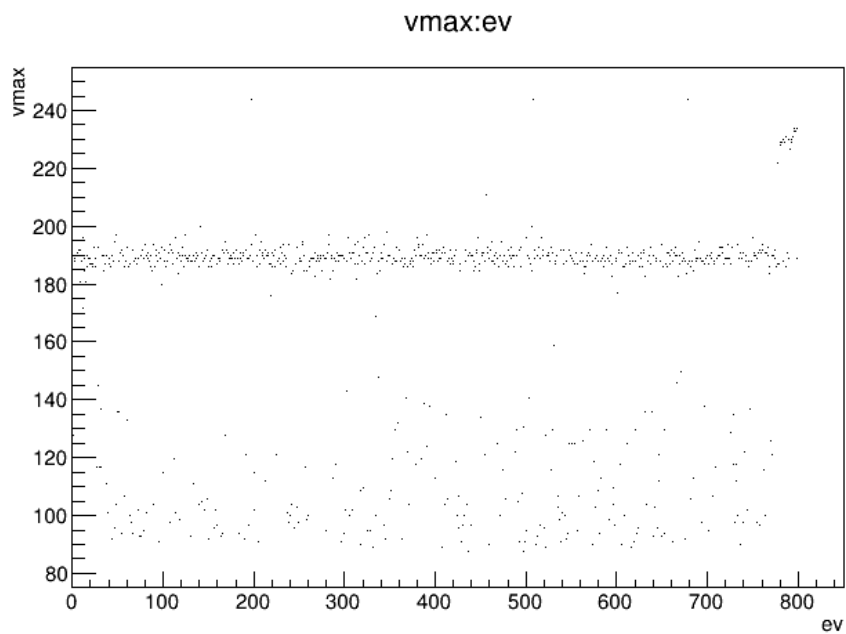


Grafico 16 Grafico vmax:ev



### **III.II Misure a pressione 550mb**

Grafico 17 Grafico segnali a 550mb

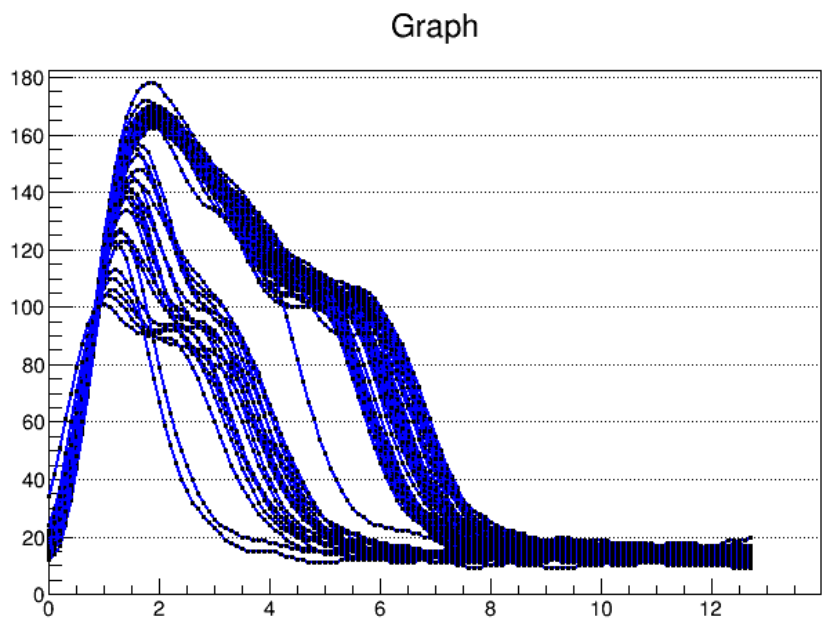
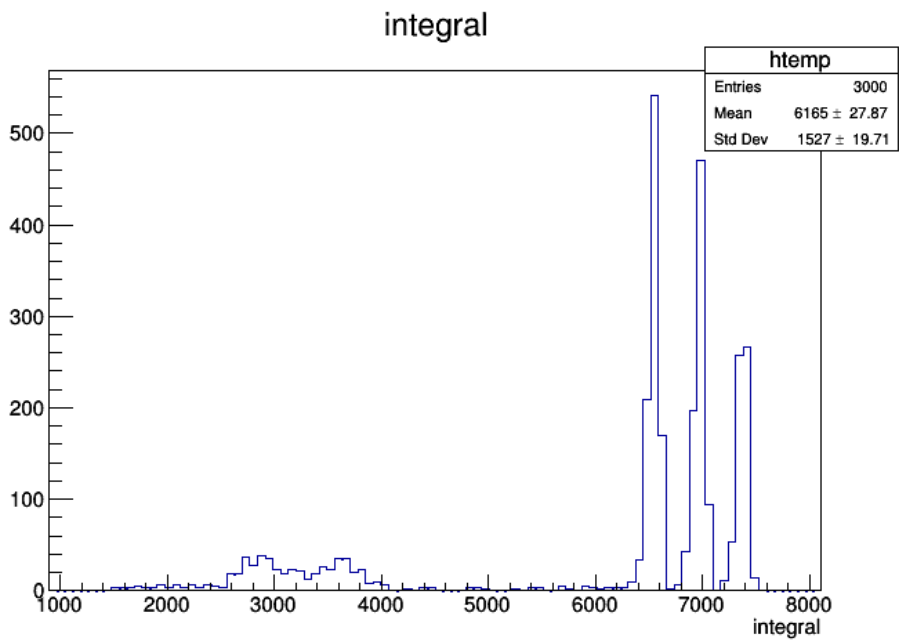


Grafico 18 Grafico integrale





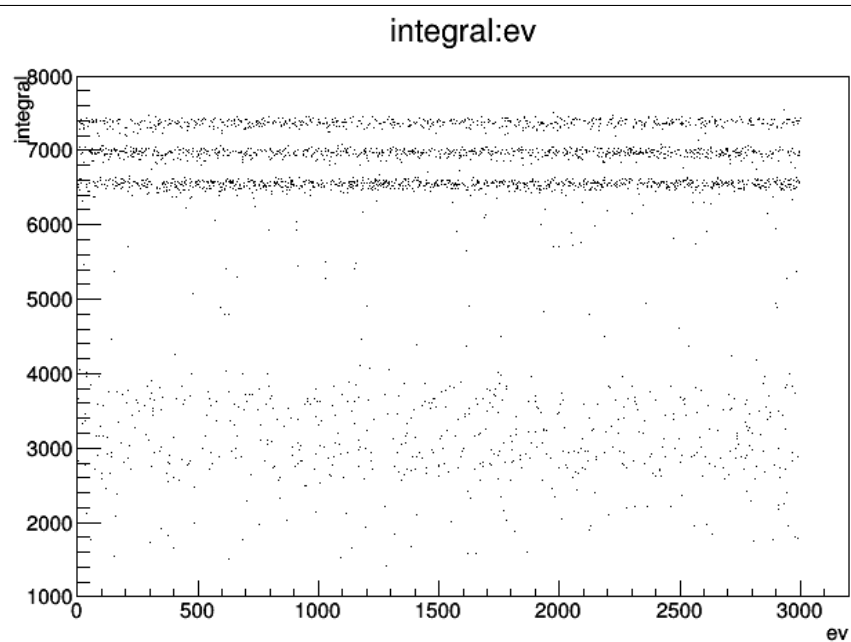
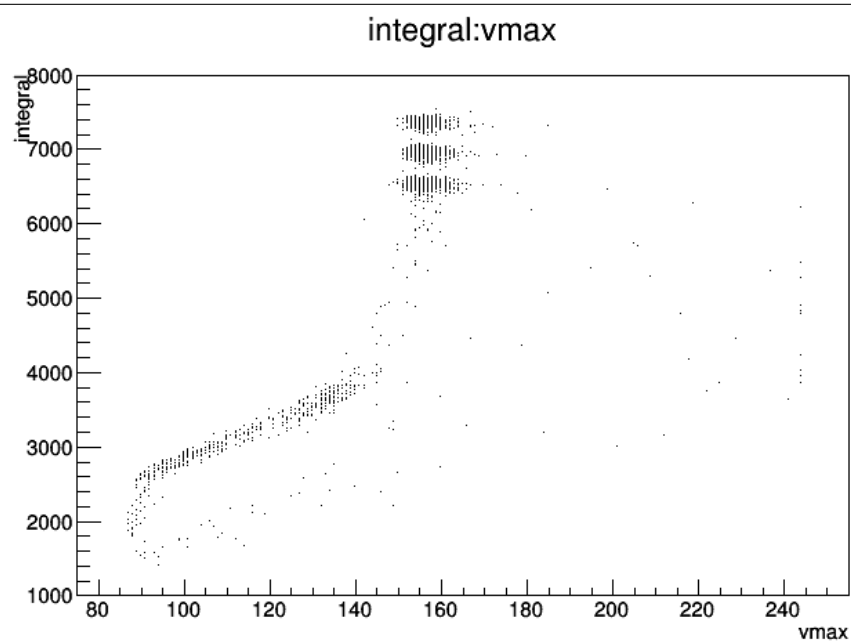
**Grafico 19** Grafico integral:ev**Grafico 20** Grafico integral:vmax

Grafico 21 Grafico vmax

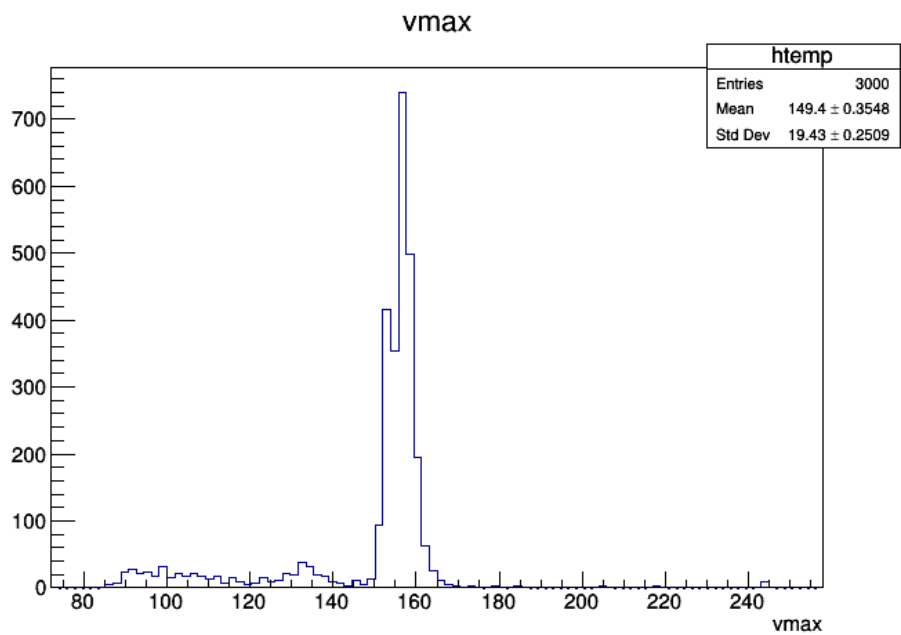
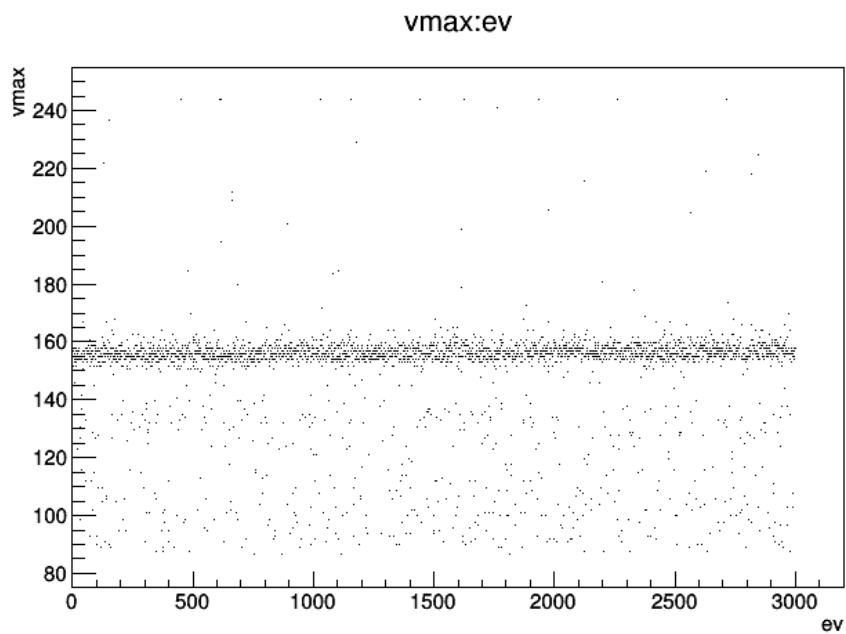


Grafico 22 Grafico vmax:ev



### **III.III Misure a pressione 500mb**

Grafico 23 Grafico segnali a 500mb

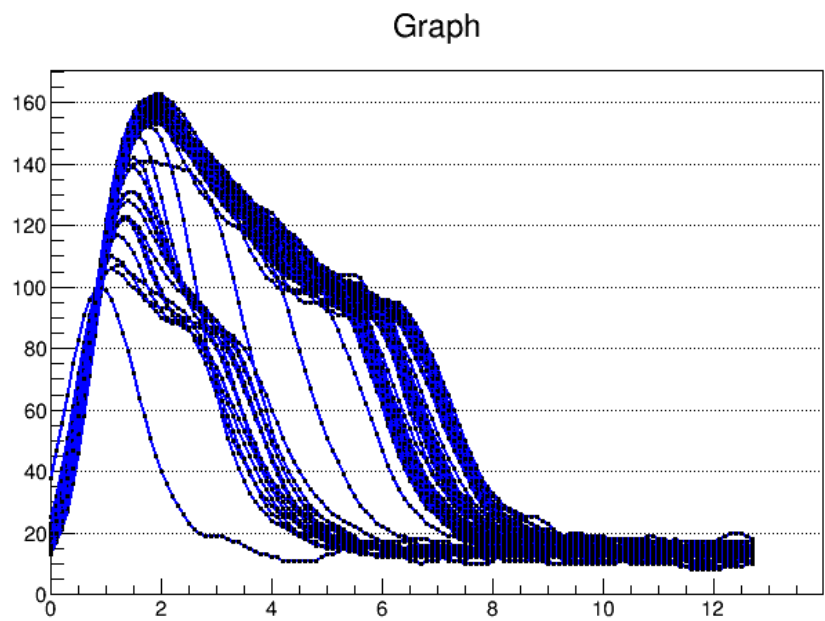
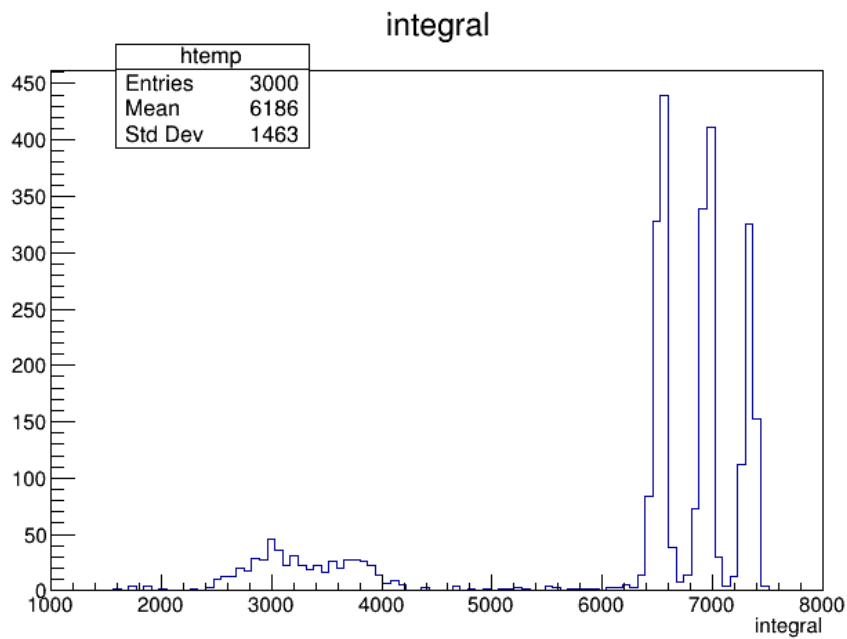


Grafico 24 Grafico integrale



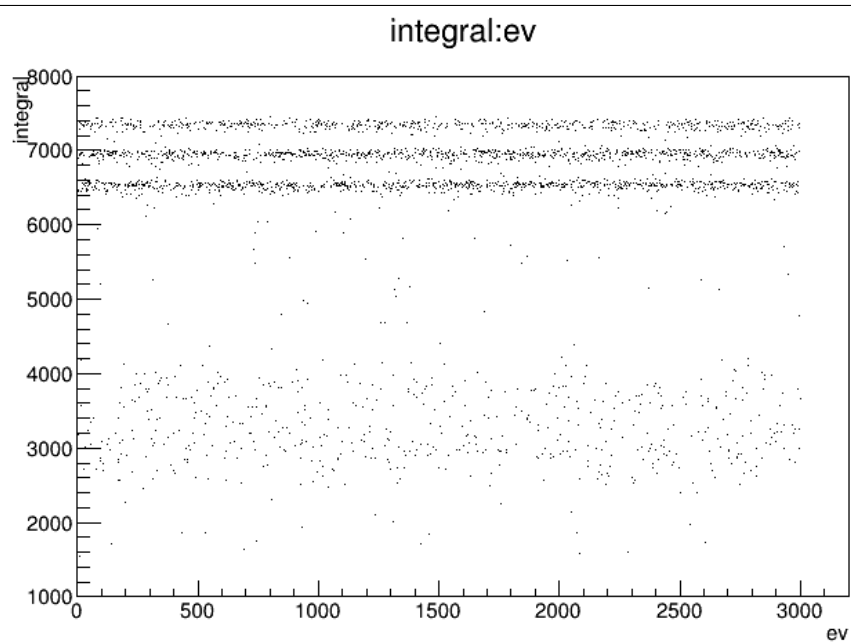
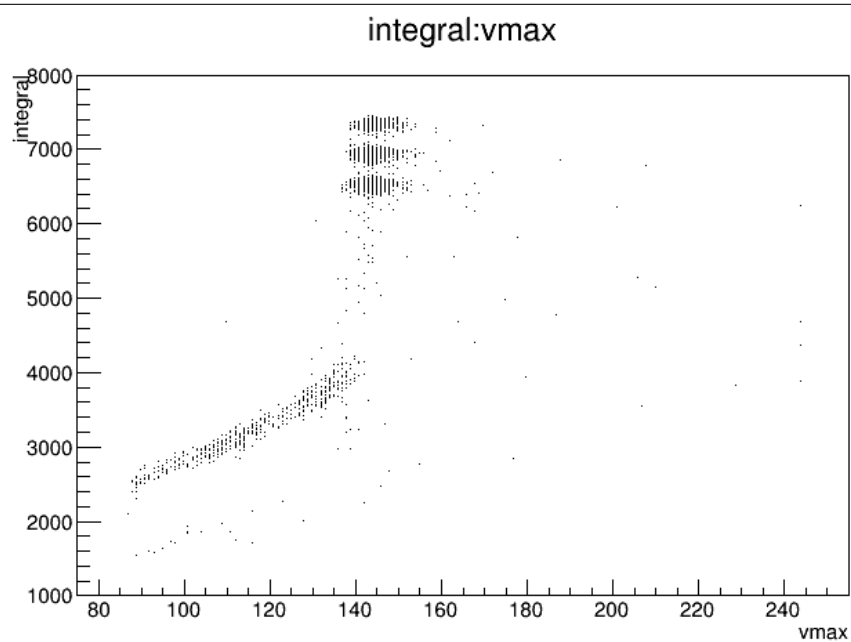
**Grafico 25** Grafico integral:ev**Grafico 26** Grafico integral:vmax

Grafico 27 Grafico vmax

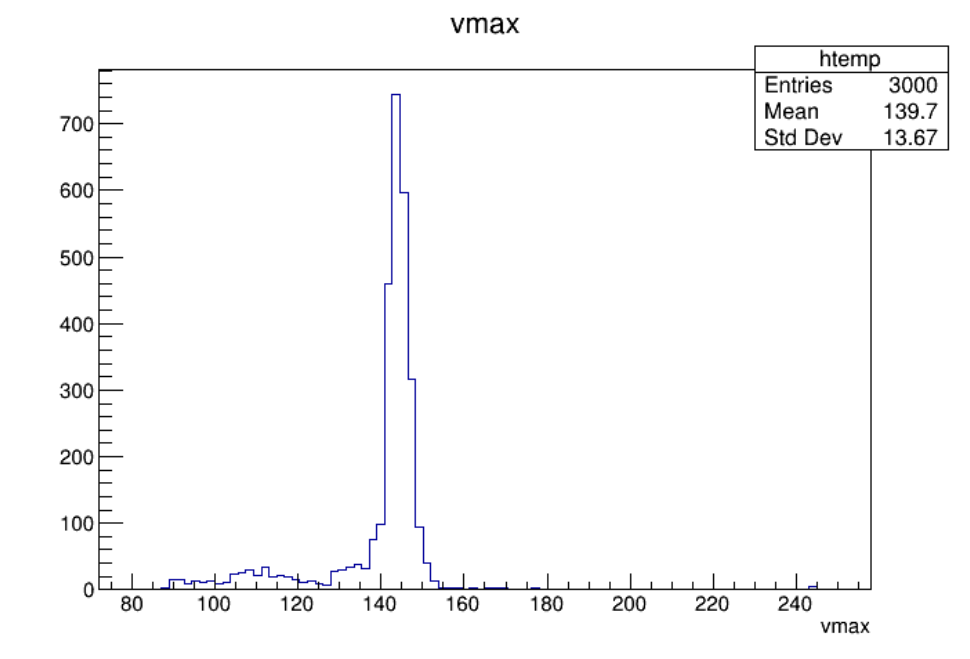
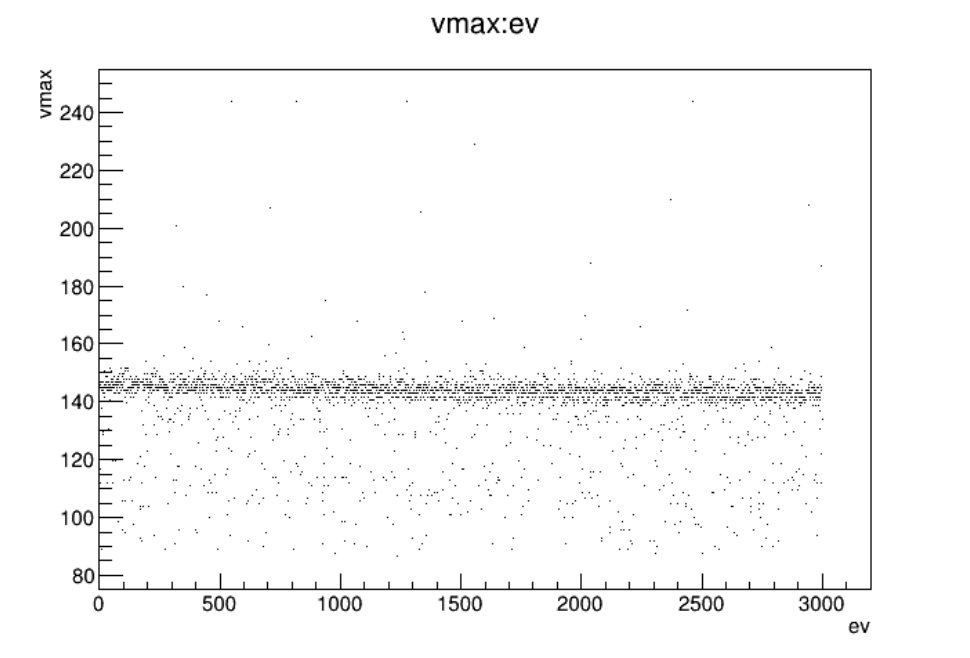


Grafico 28 Grafico vmax:ev



### **III.IV Misure a pressione 450mb**

Grafico 29 Grafico segnali a 450mb

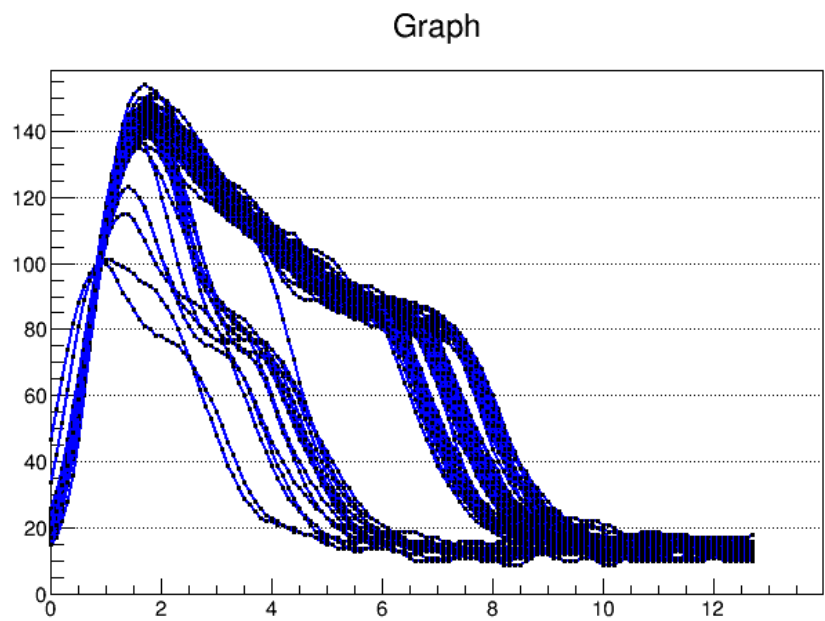
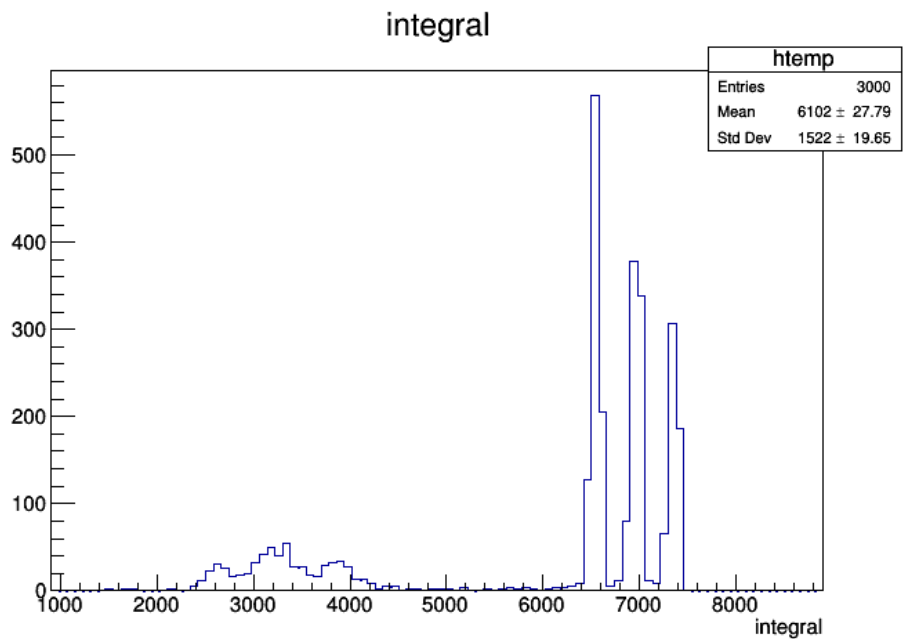


Grafico 30 Grafico integrale





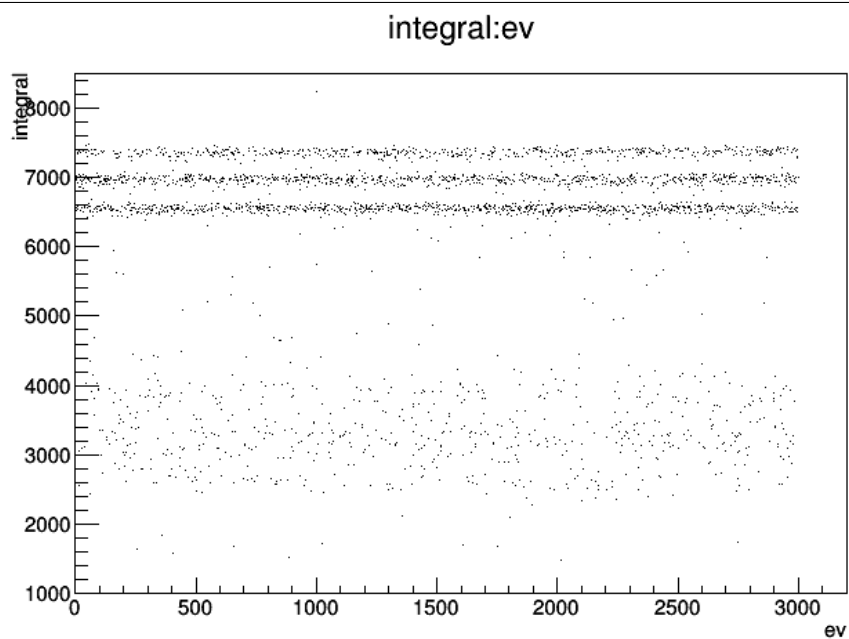
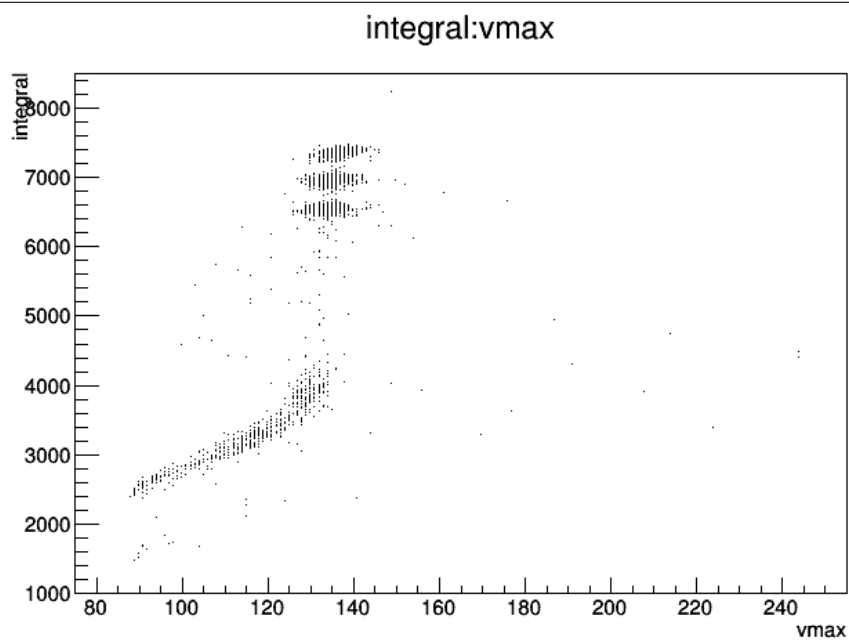
**Grafico 31** Grafico integral:ev**Grafico 32** Grafico integral:vmax

Grafico 33 Grafico vmax

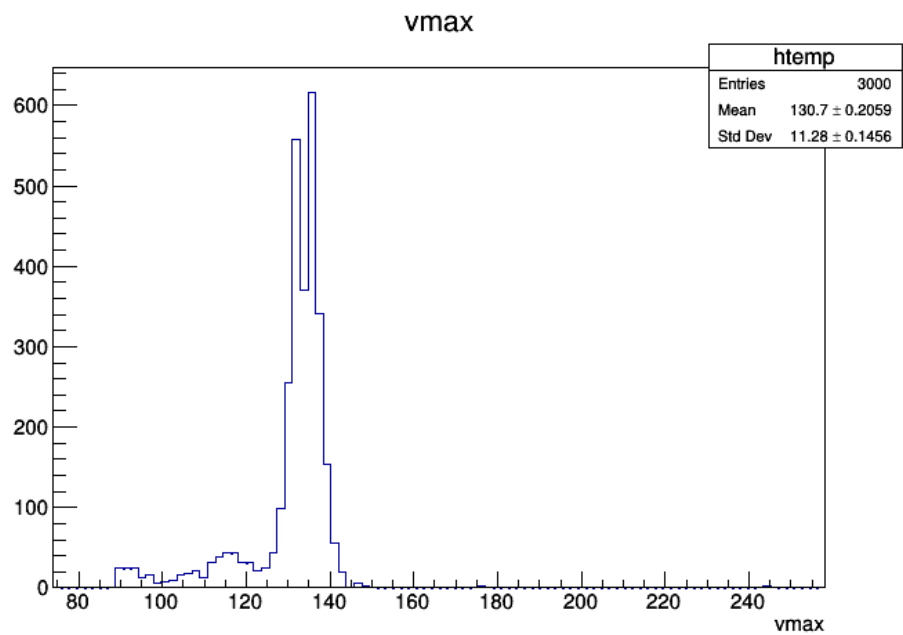
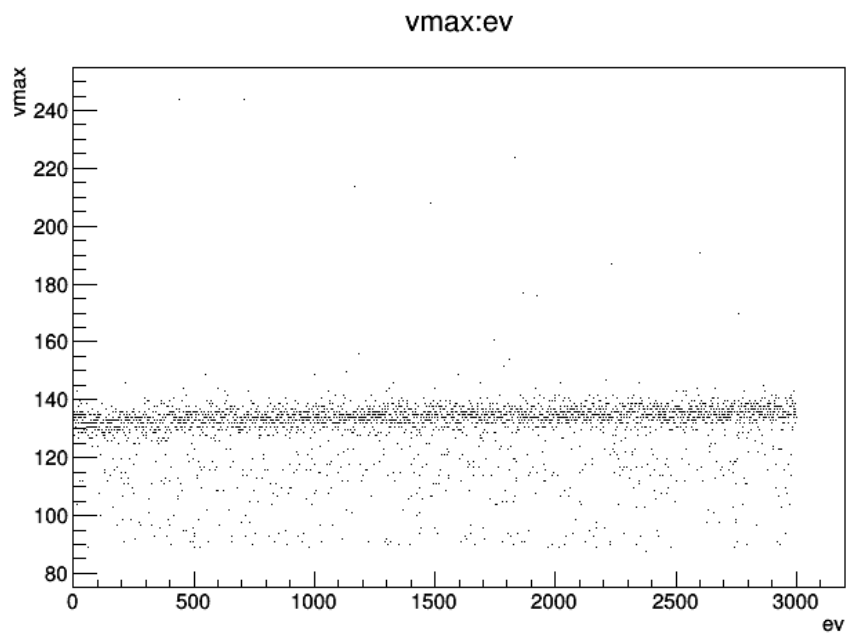


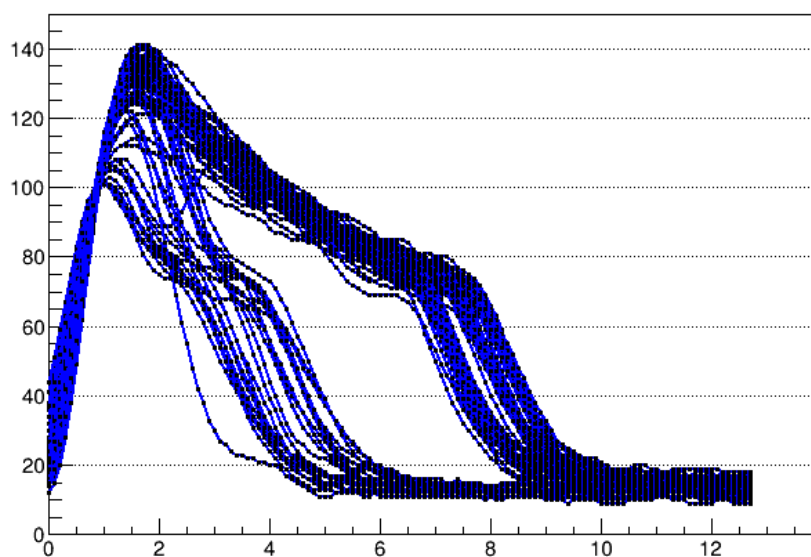
Grafico 34 Grafico vmax:ev



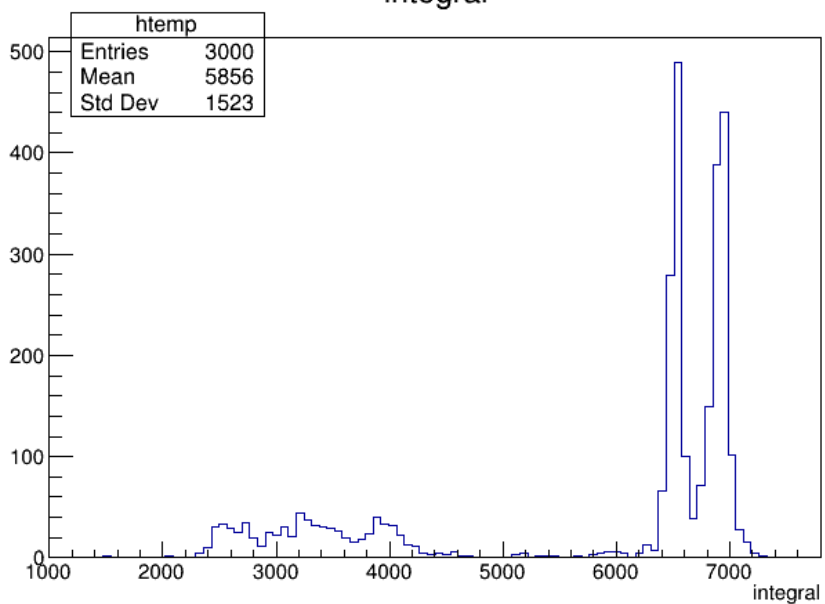
### **III.V Misure a pressione 400mb**

**Grafico 35** Grafico segnali a 400mb

Graph

**Grafico 36** Grafico integrale

integral



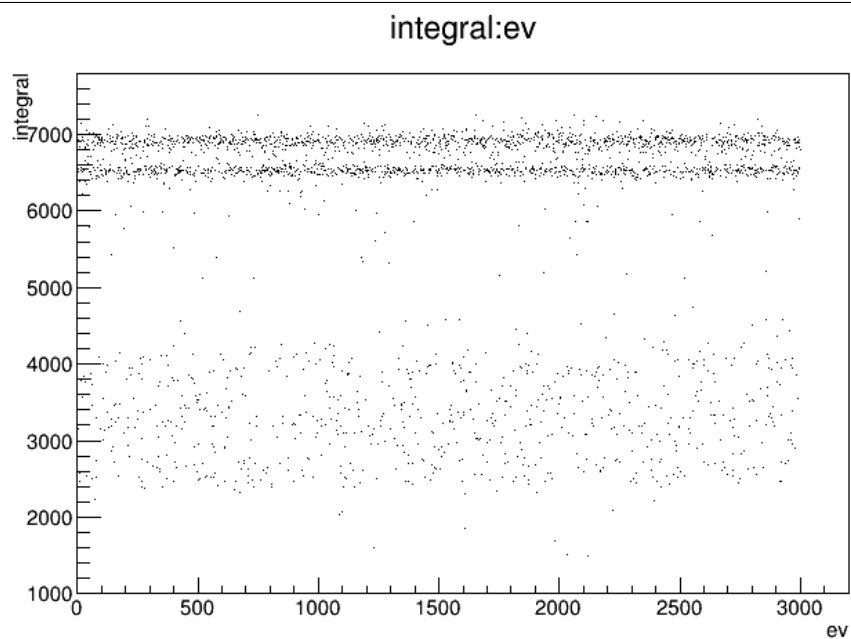
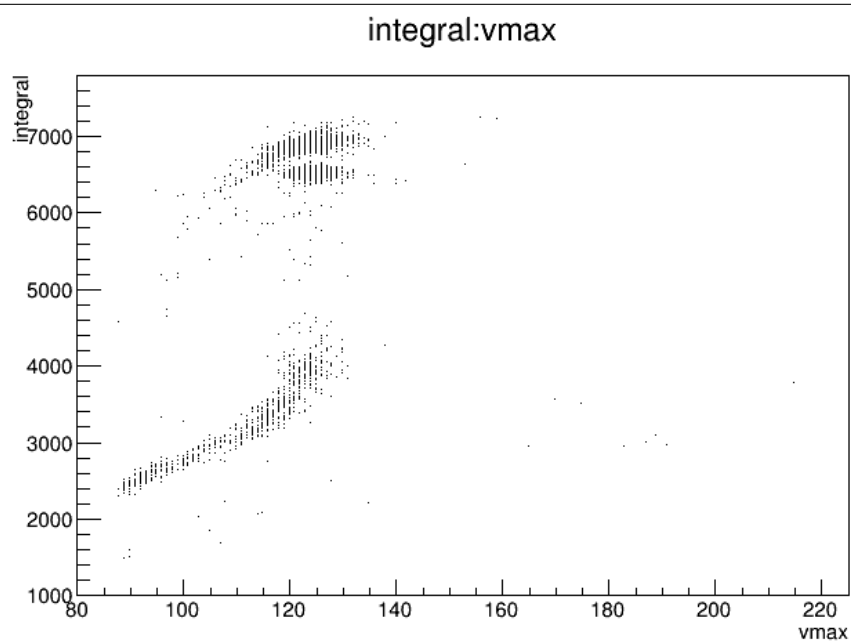
**Grafico 37** Grafico integral:ev**Grafico 38** Grafico integral:vmax

Grafico 39 Grafico vmax

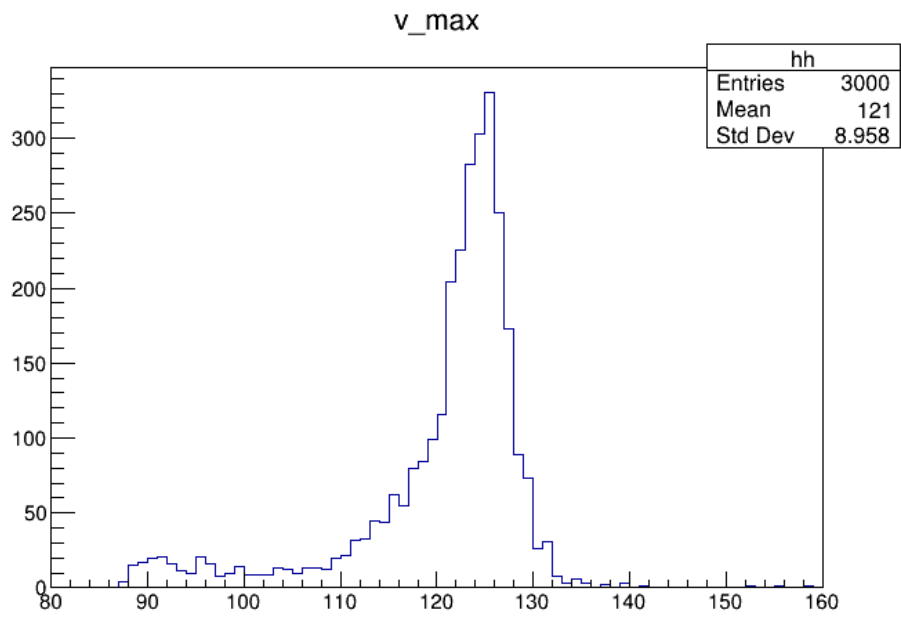
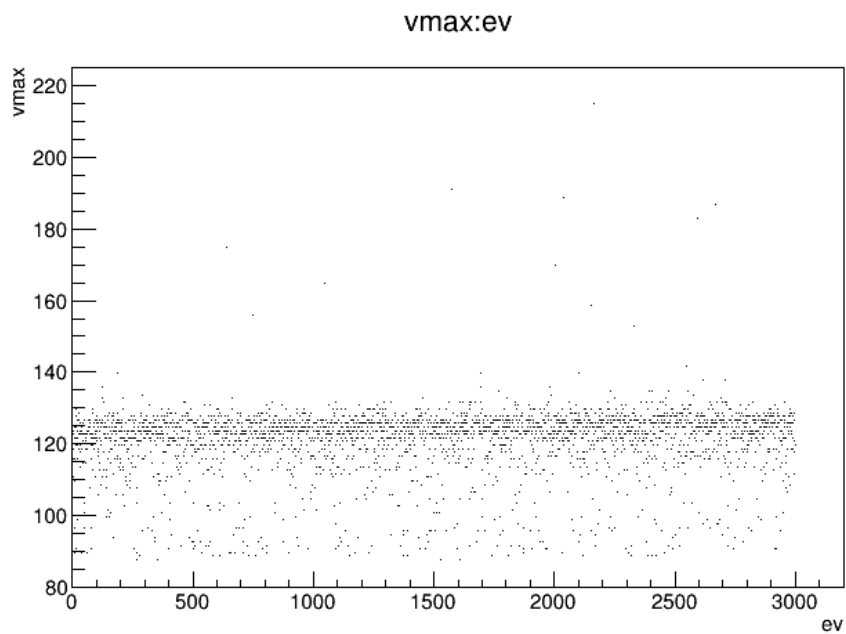


Grafico 40 Grafico vmax:ev



### **III.VI Misure a pressione 380mb**

Grafico 41 Grafico segnali a 380mb

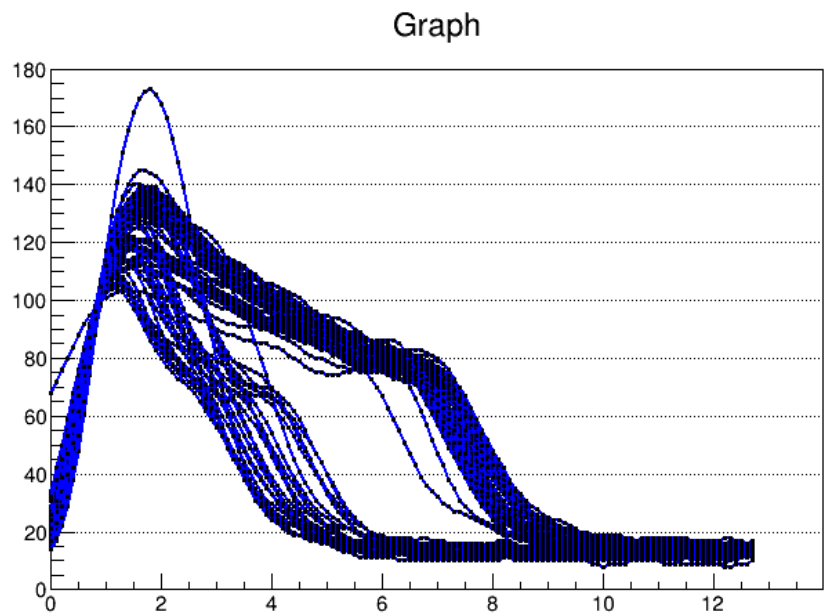
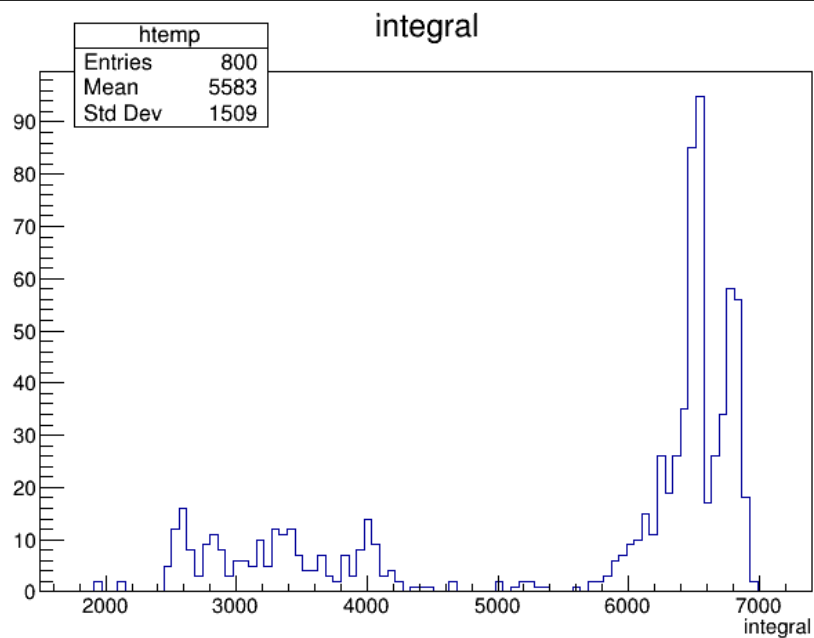


Grafico 42 Grafico integrale





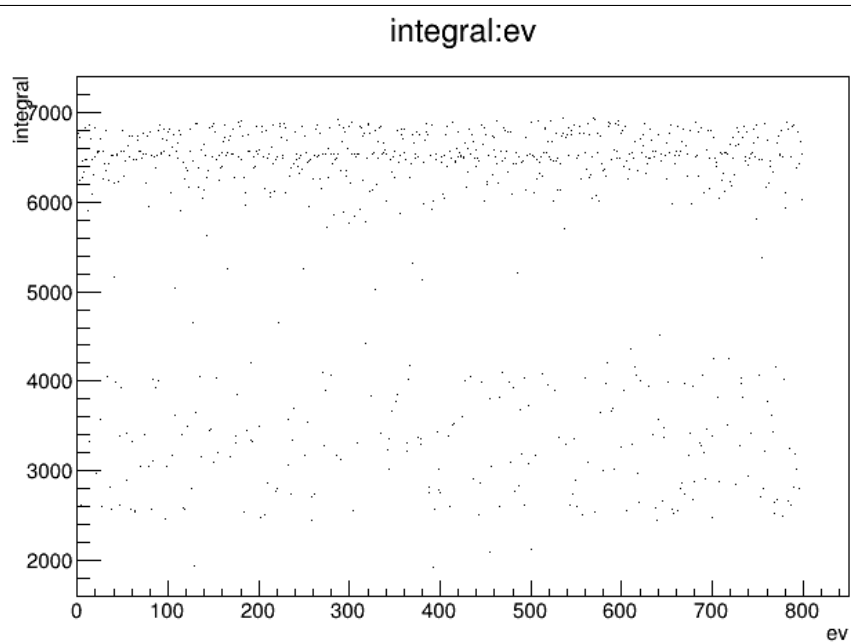
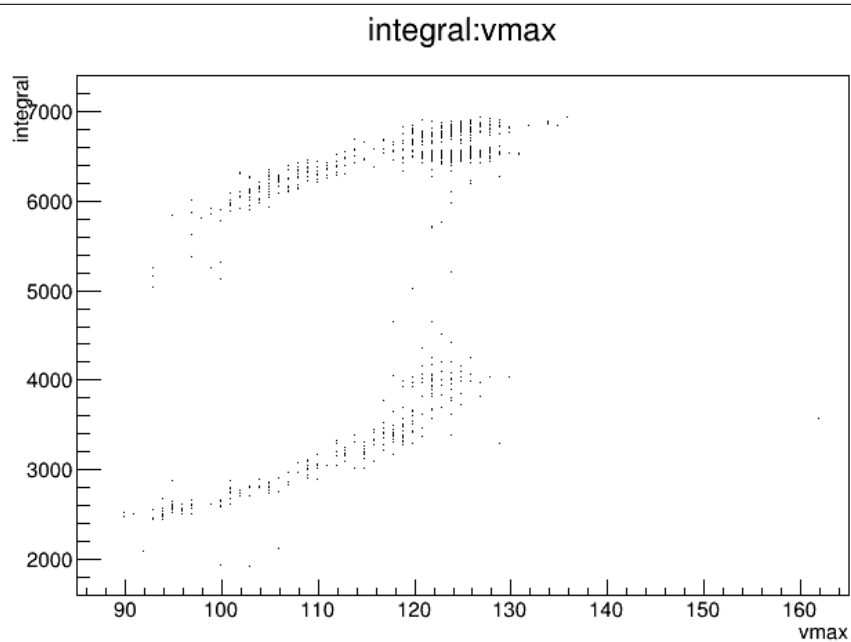
**Grafico 43** Grafico integral:ev**Grafico 44** Grafico integral:vmax

Grafico 45 Grafico vmax

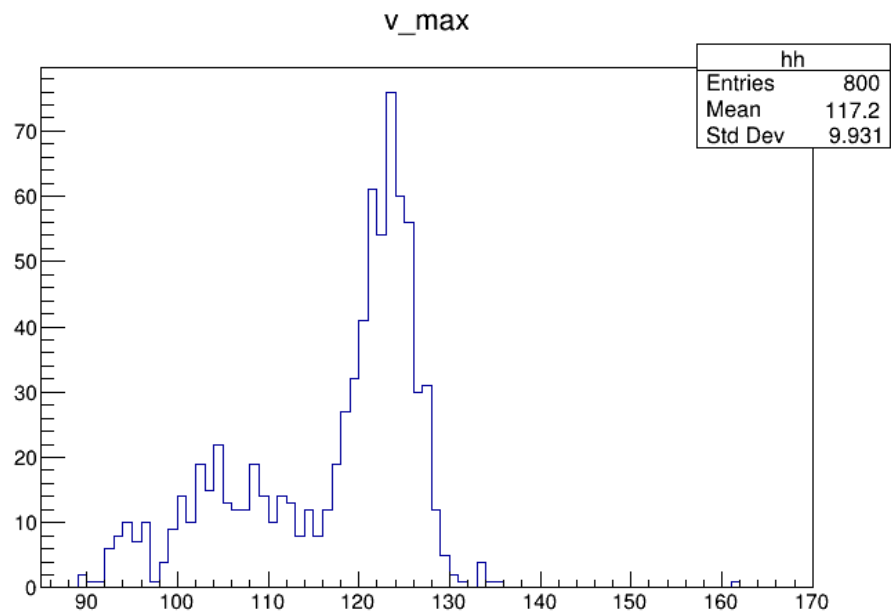
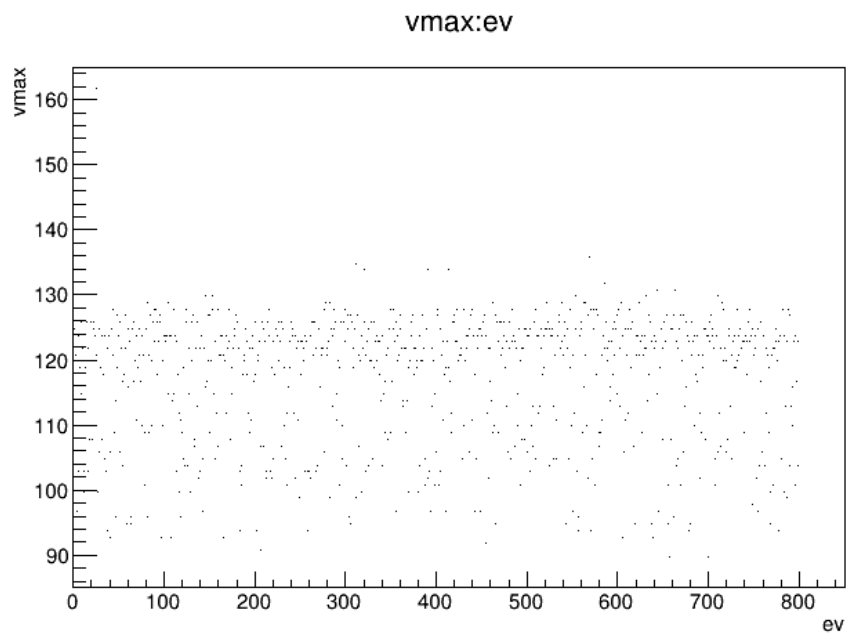


Grafico 46 Grafico vmax:ev



### III.VII Curve in funzione della pressione

Sono state registrate le posizioni dei centroidi e l'RMS dei picchi in energia e dei picchi di  $v_{max}$  delle alfa delle sorgenti.

In seguito sono stati riportati in grafico i centroidi delle energie e i centroidi dei massimi in funzione della pressione:

Come si può vedere dai grafici TODO INSERIRE LABEL QUI, l'integrale dei picchi, ovvero l'energia della particella alfa, rimane costante al variare della pressione, almeno finché non si arriva a pressioni troppo basse. Questo cambiamento a pressioni basse è dovuto al fatto che a bassa pressione le particelle riescono ad arrivare oltre la lunghezza della camera, e la restante carica non viene più rivelata. Addirittura, il terzo picco sparisce a basse pressioni, confondendosi con il secondo a causa dell'energia mancante.

Nel grafico di  $v_{max}$  invece si può chiaramente notare un andamento lineare (TODO perché?).

**Tabella 1:** Dati picchi in energia e RMS

| p(mb) | posizione centroide | RMS               |
|-------|---------------------|-------------------|
| 650   | $6552 \pm 5.583$    | $81.1 \pm 3.948$  |
| 600   | $6531 \pm 1.483$    | $43.93 \pm 1.049$ |
| 550   | $6542 \pm 1.816$    | $56.46 \pm 1.284$ |
| 500   | $6531 \pm 2.147$    | $65.45 \pm 1.518$ |
| 450   | $6547 \pm 1.982$    | $60.51 \pm 1.402$ |
| 400   | $6524 \pm 1.963$    | $61.52 \pm 1.388$ |
| 380   | $6495 \pm 3.929$    | $63.11 \pm 2.778$ |

**Tabella 2:** *Dati picchi in energia e RMS*

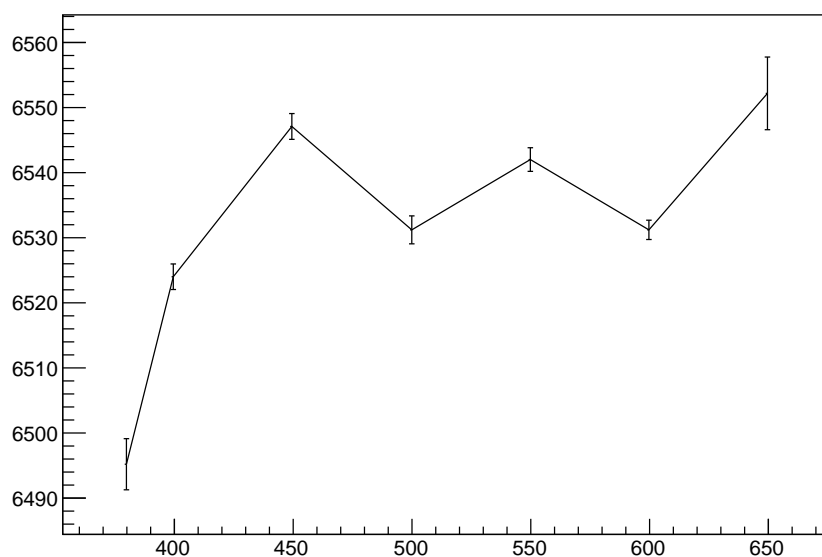
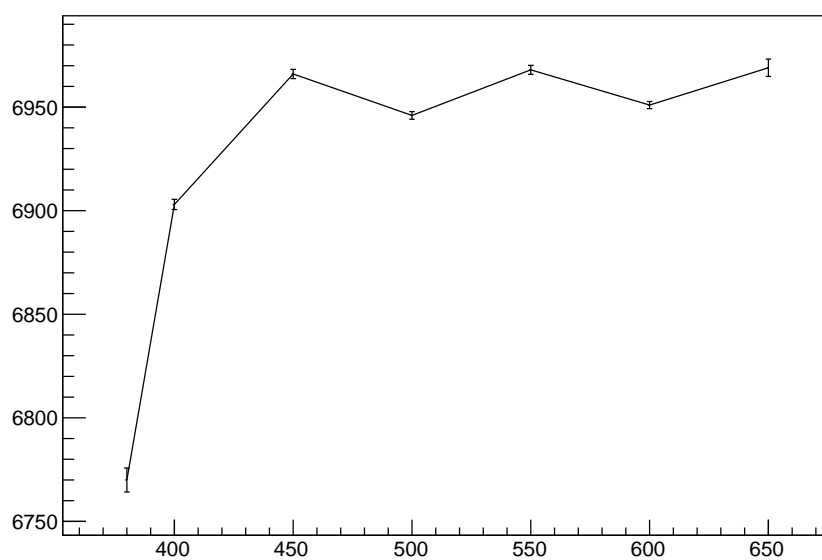
| p(mb) | posizione centroide | RMS               |
|-------|---------------------|-------------------|
| 650   | $6969 \pm 4.194$    | $61.64 \pm 2.966$ |
| 600   | $6951 \pm 1.737$    | $48.47 \pm 1.228$ |
| 550   | $6968 \pm 2.171$    | $62.44 \pm 1.535$ |
| 500   | $6946 \pm 1.848$    | $54.53 \pm 1.306$ |
| 450   | $6966 \pm 2.233$    | $64.44 \pm 1.579$ |
| 400   | $6903 \pm 2.473$    | $86.79 \pm 1.748$ |
| 380   | $6770 \pm 5.797$    | $84.21 \pm 4.099$ |

**Tabella 3:** *Dati picchi in energia e RMS*

| p(mb) | posizione centroide | RMS               |
|-------|---------------------|-------------------|
| 650   | $7372 \pm 5.264$    | $61.62 \pm 3.722$ |
| 600   | $7352 \pm 1.823$    | $44.06 \pm 1.289$ |
| 550   | $7370 \pm 2.256$    | $55.5 \pm 1.595$  |
| 500   | $7336 \pm 2.197$    | $54.31 \pm 1.554$ |
| 450   | $7350 \pm 2.715$    | $65.39 \pm 1.92$  |

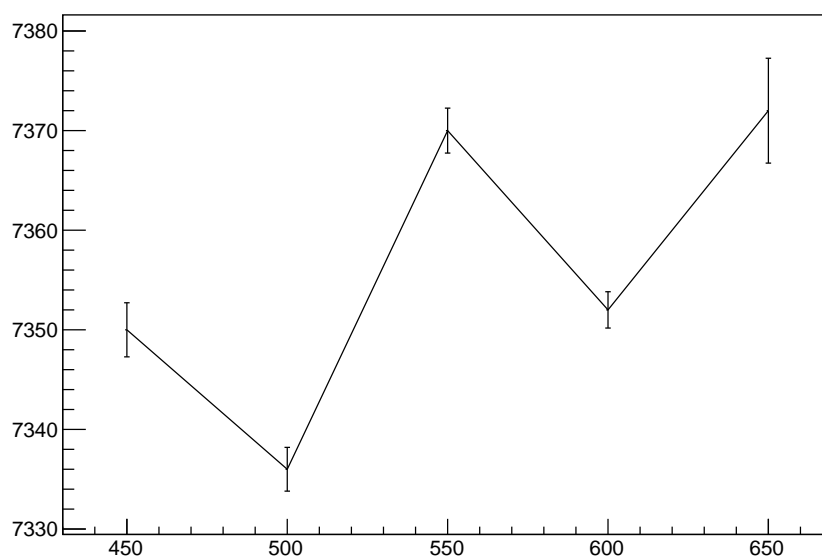
**Tabella 4:** *Dati v<sub>max</sub> in energia e RMS*

| p(mb) | posizione centroide | RMS                 |
|-------|---------------------|---------------------|
| 650   | $189.3 \pm 0.1142$  | $2.697 \pm 0.08075$ |
| 600   | $176.8 \pm 0.0564$  | $2.692 \pm 0.03988$ |
| 550   | $156.4 \pm 0.0616$  | $3.04 \pm 0.0435$   |
| 500   | $144.2 \pm 0.05632$ | $2.803 \pm 0.03983$ |
| 450   | $133.2 \pm 0.0983$  | $5.124 \pm 0.0694$  |
| 400   | $124 \pm 0.06664$   | $3.285 \pm 0.04712$ |
| 380   | $122.9 \pm 0.1359$  | $3.119 \pm 0.09609$ |

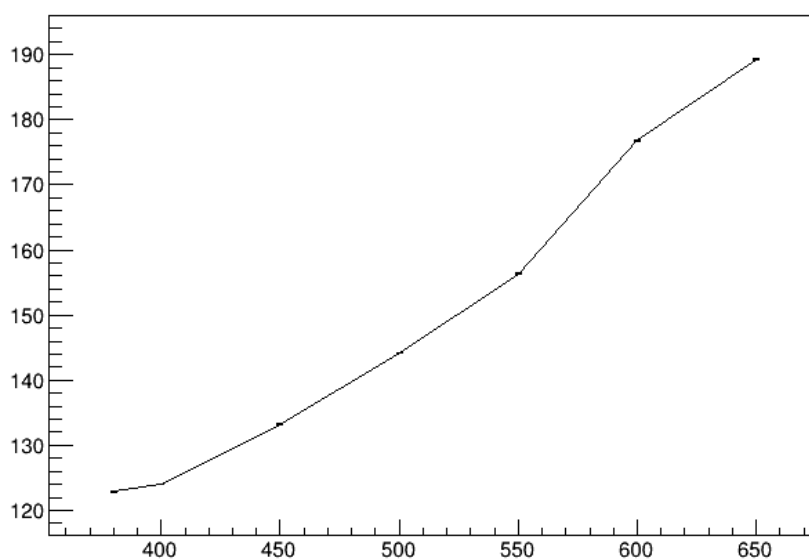
**Grafico 47** Andamento integrale del picco 1 in funzione della pressione [mb]**Picchi integral 1****Grafico 48** Andamento integrale del picco 2 in funzione della pressione [mb]**Picchi integral 2**

**Grafico 49** Andamento integrale del picco 3 in funzione della pressione [mb]

Picchi integral 3

**Grafico 50** Andamento integrale di  $v_{\max}$  [V] in funzione della pressione [mb]

Graph



E' stata implementata la macro *AnaBragg.C* per misurare la larghezza temporale dei segnali. Sono stati presi come riferimenti temporali i valori per i quali il segnale passa per il 40 % del valore massimo. Utilizzando la misura della larghezza temporale dei segnali a 400 mb è stata calcolata la velocità di drift, tramite la formula per il calcolo della velocità:

$$v = \frac{\text{lunghezza camera}}{\text{range temporale}}$$

La lunghezza della camera di Bragg è 120 mm.

Infine, ad alte pressioni, è stato verificato che il range spaziale fosse inversamente proporzionale alla pressione.

**Tabella 5:** *Tabella range spaziali e width temporali primo picco*

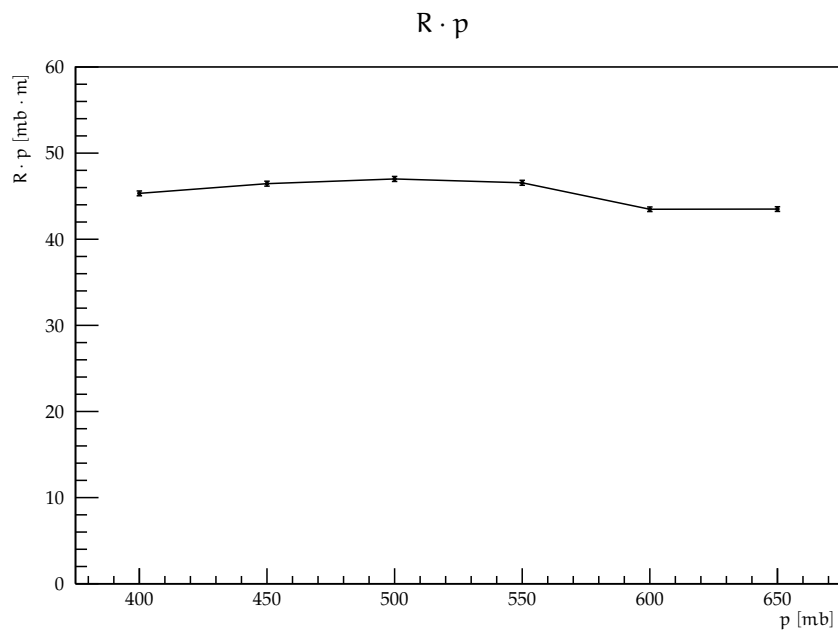
| p(mb) | range $\pm \sigma_{\text{range}}$ (mm) | width $\pm \sigma_{\text{width}}$ (μ s) |
|-------|--|---|
| 400   | 113.3 $\pm$ 0.7                        | 69.52 $\pm$ 0.04                        |
| 450   | 103.2 $\pm$ 0.6                        | 63.33 $\pm$ 0.04                        |
| 500   | 94.0 $\pm$ 0.6                         | 57.67 $\pm$ 0.04                        |
| 550   | 84.6 $\pm$ 0.5                         | 51.93 $\pm$ 0.03                        |
| 600   | 72.5 $\pm$ 0.4                         | 44.46 $\pm$ 0.02                        |
| 650   | 66.9 $\pm$ 0.4                         | 41.06 $\pm$ 0.05                        |

**Tabella 6:** Tabella range spaziali e width temporali secondo picco

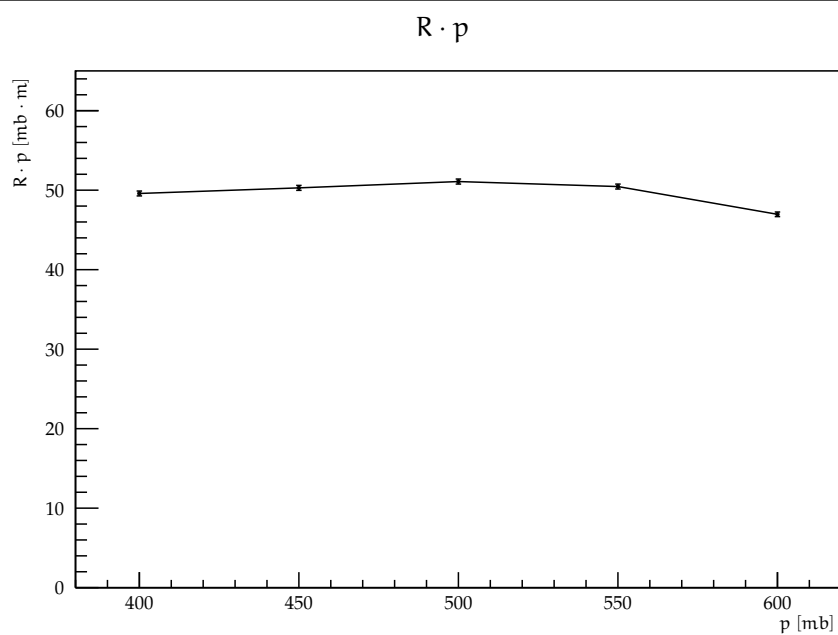
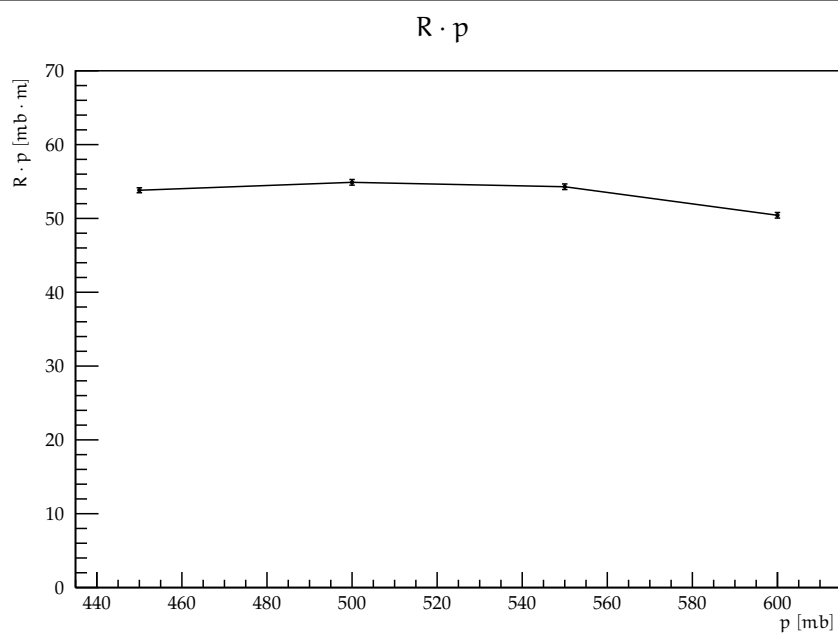
| p(mb) | range $\pm \sigma_{\text{range}}$ (mm) | width $\pm \sigma_{\text{width}}$ ( $\mu$ s) |
|-------|--|--|
| 400   | 124.0 $\pm$ 0.8                        | 76.05 $\pm$ 0.06                             |
| 450   | 111.8 $\pm$ 0.7                        | 68.56 $\pm$ 0.05                             |
| 500   | 102.2 $\pm$ 0.6                        | 62.68 $\pm$ 0.05                             |
| 550   | 91.7 $\pm$ 0.6                         | 56.28 $\pm$ 0.03                             |
| 600   | 78.3 $\pm$ 0.5                         | 48.02 $\pm$ 0.03                             |

**Tabella 7:** Tabella range spaziali e width temporali terzo picco

| p(mb) | range $\pm \sigma_{\text{range}}$ (mm) | width $\pm \sigma_{\text{width}}$ ( $\mu$ s) |
|-------|--|--|
| 450   | 119.6 $\pm$ 0.7                        | 73.37 $\pm$ 0.05                             |
| 500   | 109.8 $\pm$ 0.8                        | 67.35 $\pm$ 0.05                             |
| 550   | 98.7 $\pm$ 0.7                         | 60.56 $\pm$ 0.05                             |
| 600   | 84.0 $\pm$ 0.6                         | 51.56 $\pm$ 0.04                             |

**Grafico 51** Grafico Range (m  $\cdot$  b) su Pressione (mb)



**Grafico 52** Grafico Range ( $m \cdot b$ ) su Pressione (mb)**Grafico 53** Grafico Range ( $m \cdot b$ ) su Pressione (mb)

## **IV. TABELLE**

Non credo ce ne siano

Magari le tabelle dei decadimenti?

## **V. DISCUSSIONI E CONCLUSIONI**

Da fare

## VI. CODICE

È presentata qua la parte fondamentale del codice in c++ usato per i calcoli numerici.

```
1 #include <Riostream.h>
2 #include <stdlib.h>
3 #include <TR00T.h>
4 #include <TSystem.h>
5 #include "TNtuple.h"
6 #include "TFile.h"
7 #include "TTree.h"
8 #include "TCanvas.h"
9 #include "TGraph.h"
10 #include "TGraphErrors.h"
11 #include "TF1.h"
12
13 struct bragg_signal {
14     short int s[128];
15 };
16
17 int AnaBraggWidth(char *filename, int intto=80, float blfix=13, int
    nsig=0) {
18
19     bragg_signal signal;
20
21     TFile *fin=new TFile(filename);
22     if (!fin->IsOpen()) {
23         std::cout << "file not found! " << std::endl;
24         return -1;
25     }
26
27     TTree *tree = (TTree*)fin->Get("bragg");
28     if (!tree) {
29         std::cout << "Bragg tree not found! " << std::endl;
30         return -2;
31     }
32
33     TBranch *br = tree->GetBranch("signals");
34     if (!br) {
35         std::cout << "Signal branch not found! " << std::endl;
36         return -3;
37     }
38
39     br->SetAddress(&signal);
40     int nev = br->GetEntries();
41     std::cout << "Number of events in file : " << nev << std::endl;
42
43     // ANALIZZA EVENTO x EVENTO
44
45     // altri parametri iniziali
```

```

46  float thr_frac = 0.4; // soglia rispetto al vmax per il calcolo
    della larghezza
47  int intfrom = 0; // regione di integrazione da 0 a intto
48  if (intto>128) intto=128;
49  int blfrom = 108, blto = 128; // regione per il calcolo della
    baseline
50
51
52  float bl; // baseline evento x evento
53  float integral;
54  float vmax; // massimo relativo alla bl
55  float width; // larghezza dei segnali
56
57
58  char outfilename[200];
59  strcpy(outfilename,"anabragg_");
60  char *cc=strrchr(filename,'/');
61  if (cc) {cc++; strcat(outfilename,cc);}
62  else strcat(outfilename,filename);
63
64  TFile *fout=new TFile(outfilename,"RECREATE"); // output file
65
66  TNtuple *nt=new
    TNtuple("nt","", "ev:vmax:width:integral:baseline");
67
68  int maxev=nev;
69  if (nsig && nsig<nev) maxev=nsig;
70
71  // LOOP SUGLI EVENTI
72  for (int i=0; i<maxev; i++) {
73
74      // recupera l'evento
75      br->GetEntry(i);
76
77      // inizializza a zero
78      bl=0;
79      integral=0;
80      vmax=0;
81      width=0;
82
83      // calcolo baseline
84      for (int j=blfrom; j<blto; j++)
85          bl += signal.s[j]; bl /= (blto-blfrom);
86
87      // calcolo integrali e vmax
88      for (int j=intfrom; j<intto; j++) {
89          integral += (signal.s[j] - blfix);
90          if ( (signal.s[j] - blfix) > vmax ) vmax = (signal.s[j] -
            blfix);
91      }
92
93      // CALCOLO DELLA LARGHEZZA DEL SEGNALE A UNA CERTA PERCENTUALE

```

```

    DEL VMAX
94    // ...
95    float ratio = 0.4;
96    for (int j = 0; j < 128; ++j)
97    {
98        if (signal.s[j] > ratio*vmax) ++width;
99    }
100    /* alternativamente
101    int start = 0;
102    int end = 0;
103    for (int j = 0; j < 128; ++j){
104        if (!start && signal.s[j] > ratio*vmax) ++width;
105        if (start && !end && signal.s[j] > ratio*vmax) ++width;
106    }*/
107
108
109    nt->Fill(i,vmax,width,integral,bl);
110 }
111 std::cout << maxev << " events analyzed..." << std::endl;
112
113 fout->Write();
114 fout->Close();
115
116 fin->Close();
117
118 new TFile(outfilename); // riapre il file dei risultati
119
120 return 0;
121 }

```

../src/AnaBraggWidth.C

```

1 #include <Riostream.h>
2 #include <stdlib.h>
3 #include <TR00T.h>
4 #include <TSystem.h>
5 #include "TNtuple.h"
6 #include "TFile.h"
7 #include "TTree.h"
8 #include "TCanvas.h"
9 #include "TGraph.h"
10 #include "TGraphErrors.h"
11 #include "TF1.h"
12
13 struct bragg_signal {
14     short int s[128];
15 };
16
17 int plotSignal(bragg_signal sig, int same) {
18
19     float x[128]; for (int i=0; i<128; i++) x[i]=i*0.1;
20     float y[128]; for (int i=0; i<128; i++) y[i]=sig.s[i];

```

```

21 TGraph *g = new TGraph(128,x,y); // crea il grafico
22 g->SetMarkerStyle(7); // imposta alcuni attributi
23 g->SetLineColor(4);
24 g->SetLineWidth(2);
25
26 TCanvas *csig = (TCanvas*)gROOT->FindObject("csig"); // cerca
    l'oggetto "csig" (canvas)
27 if (!csig) {
28     csig=new TCanvas("csig"); // se non c'e' la crea nuova
29     csig->SetGridy();
30     g->Draw("apl"); // disegna il grafico e anche il frame con gli
        assi
31 }
32 else {
33     csig->cd(); // se c'e' si posiziona sulla canvas "csig"
34     if (same)
35         g->Draw("pl"); // disegna nel frame esistente
36     else {
37         csig->Clear();
38         g->Draw("apl"); // disegna in un nuovo frame
39         gSystem->Sleep(200); // aspetta 200 ms
40     }
41 }
42 csig->Modified(); // aggiorna la canvas
43 csig->Update();
44 gSystem->ProcessEvents(); // aggiorna la grafica
45
46 return 0;
47 }
48
49 int PlotSignals(char *filename, int plfrom=0, int plto=100, int
    same=1) {
50
51     bragg_signal signal;
52
53     TFile *fin=new TFile(filename);
54     if (!fin->IsOpen()) {
55         std::cout << "file not found! " << std::endl;
56         return -1;
57     }
58
59     TTree *tree = (TTree*)fin->Get("bragg");
60     if (!tree) {
61         std::cout << "Bragg tree not found! " << std::endl;
62         return -2;
63     }
64
65     TBranch *br = tree->GetBranch("signals");
66     if (!br) {
67         std::cout << "Signal branch not found! " << std::endl;
68         return -3;
69     }

```

```
70 |  
71 | br->SetAddress(&signal);  
72 | int nev = br->GetEntries();  
73 | std::cout << "Number of events in file : " << nev << std::endl;  
74 |  
75 | for (int i=plfrom; i<plto; i++) {  
76 |     br->GetEntry(i);  
77 |     plotSignal(signal,same);  
78 | }  
79 |  
80 | return 0;  
81 | }
```

*../src/PlotSignals.C*